

# $\eta'$ -mesic nuclei and axial U(1) quantum anomaly

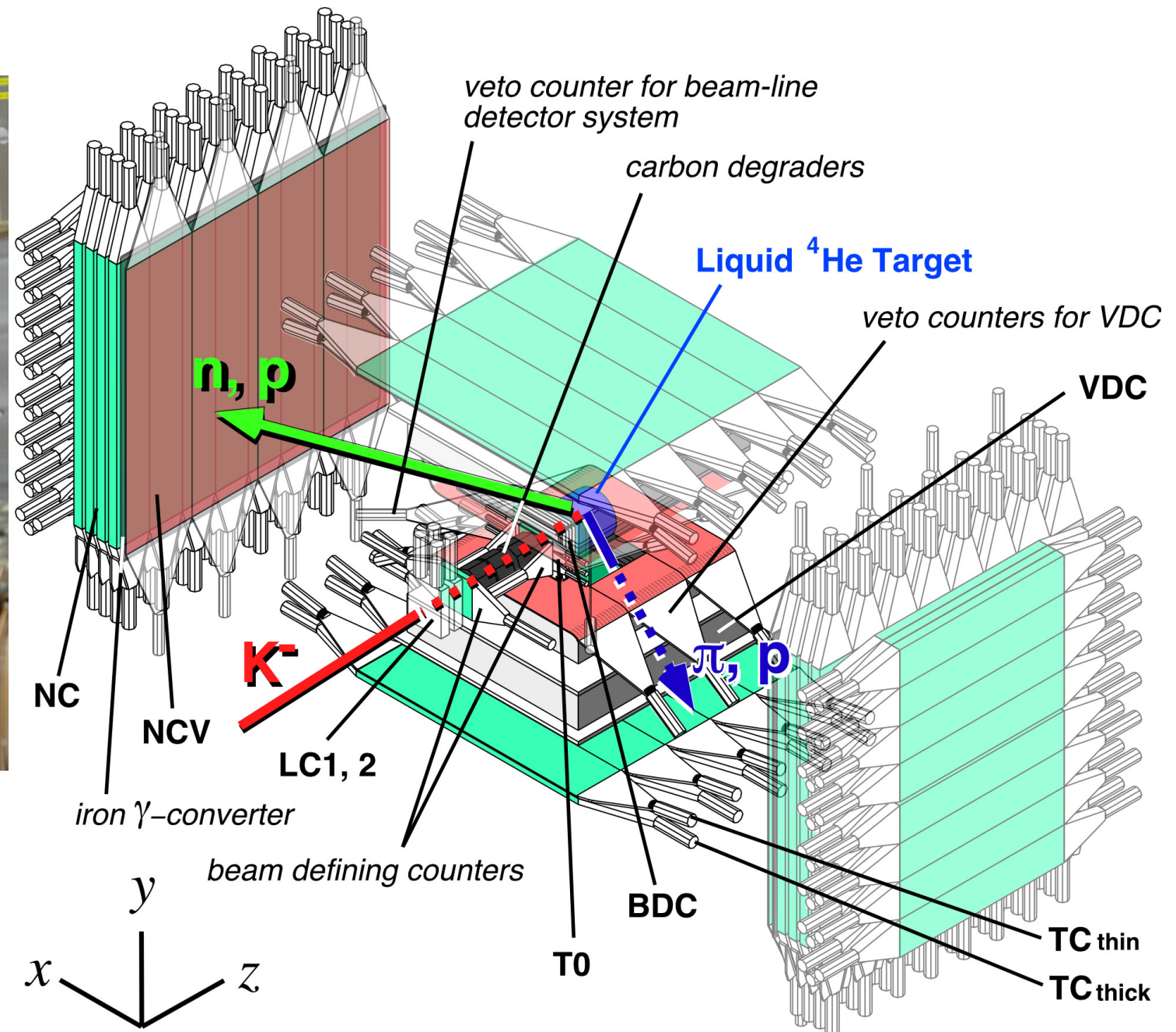
RIKEN Nishina Center  
Kenta Itahashi

photo by J. Hosan



1999年 東工大岩崎研助手...

# KEK-PS E471 実験 第一期 Knudl 探査実験





# $\eta'$ -mesic nuclei and axial U(1) quantum anomaly

RIKEN Nishina Center  
Kenta Itahashi

photo by J. Hosan



日本物理学会創立70周年記念企画

# 物理学70の不思議

- 16. 原子核の形
- 19. 格子QCD
- 5. 素粒子の世代
- 13. 陽子=クォーク3つ?
- 11. ヒッグス粒子
- 37. 素粒子と物性
- 36. 量子コンピュータ
- 14. テトラクォーク
- 18. 原子核の地図
- 6. ニュートリノ
- 38. モンテカルロ計算
- 53. フェルミ液体論
- 17. 超重原子核
- 10. クォークの閉じこめ
- 45. 光誘起相転移
- 41. トポロジカル秩序
- 4. クォーク・グルーオン・プラズマ
- 39. マヨラナ粒子
- 30. 乱流
- 44. メタマテリアル
- 15. ストレンジ原子核
- 8. 暗黒エネルギー
- 24. 量子力学の検証
- 55. 隠れた秩序
- 12. 反物質
- 7. 暗黒物質
- 1. 宇宙の物質生成
- 27. 太陽コロナ
- 21. 中性子星
- 2. 4次元時空
- 3. インフレーション
- 24. 相対論的ジェット
- 33. 冷却原子
- 29. 核融合
- 20. 超大質量ブラックホール
- 25. 宇宙線
- 35. 量子重力
- 22. ブラックホールと情報
- 23. ブラックホールと情報
- 70. 物理学はどこへ
- 62. 経済物理学

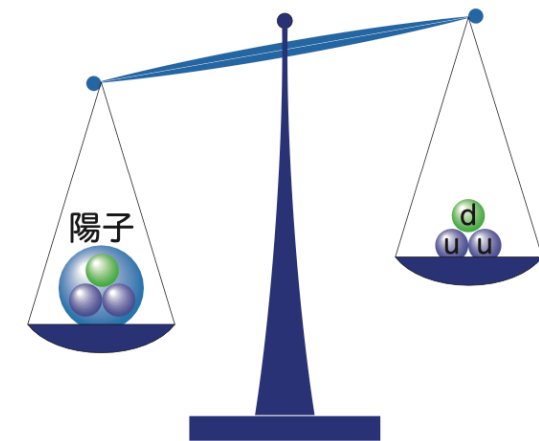
49

## 陽子はクォーク3つからできている?

「陽子はアップクォーク (u) 2個とダウンクォーク (d) 1個で構成される」と教科書にはある。陽子や中性子が約1/3の質量 (約  $300 \text{ MeV}/c^2$ ) をもつクォークから構成されるとする構成子クォーク模型は、中間子を含む多くの粒子、ハドロンの成り立ちを「上手に」説明する。クォーク模型は一部を除く広範囲のハドロンの質量や量子数をよく再現する。

一方、高エネルギー電子散乱実験から決まる「裸の」u, dクォークの質量は、たかだか  $5 \text{ MeV}/c^2$  である。このu, dクォークの質量は、ヒッグス機構によって与えられる質量に相当するが、uudを合計しても陽子質量の1%程度にしかない。このことは、陽子が単純にuudの3つのクォークから構成されるとする説明とは矛盾する。

同じく、陽子のスピンは1/2だが、これに対するクォークからの寄与はたかだか30%ほどにすぎないことが知られている。最近の研究により、陽子のスピンはクォークだけでなく、クォークを結びつける糊であるグルーオン、そしてそれらの軌道角運動量の寄与などを、包括的に考慮しなくてはならないことがわかってきている。陽子を含むハドロンは、クォークやグルーオンを自由度とする極めて強く相互作用する複雑な多体束縛系として、量子色力学に基



づいた説明が待たれている。

南部陽一郎らは陽子質量の残り99%の起源を、クォークではなく真空の構造に求めた。真空は空っぽの箱ではなく、強い相互作用によりクォーク・反クォーク対が凝縮し満ちた状態であり、ハドロンの質量は動的に生み出されていると考えられている。

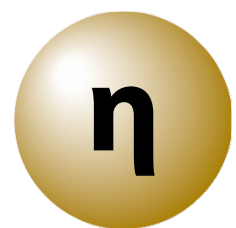
このようにハドロンの成り立ちを探ることで、多彩な現象を生み出す量子色力学の世界を垣間見ることができる。そしてそれは、クォーク・反クォーク対が自発的に凝縮した真空の構造を探ることにもつながるのである。

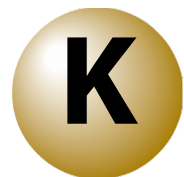
会誌編集委員会



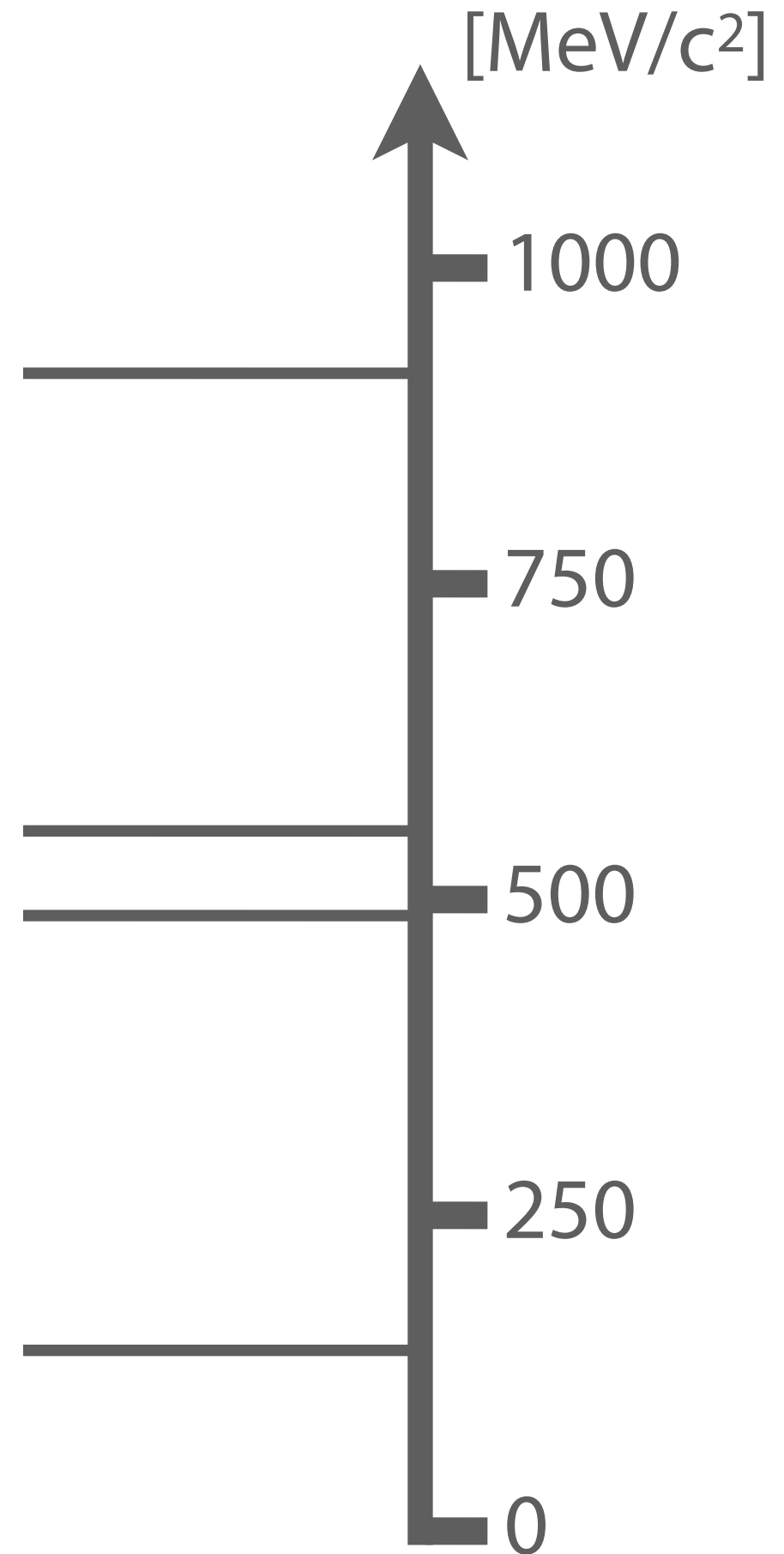
# $\eta'$ and other PS mesons

  $\eta'$   $M=958 \text{ MeV}/c^2$

  $\eta$   $M=548 \text{ MeV}/c^2$

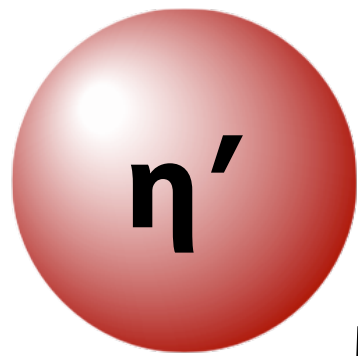
  $K$   $M=498 \text{ MeV}/c^2$

  $\pi$   $M=140 \text{ MeV}/c^2$



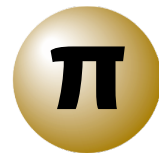


# $\eta'$ and other PS mesons

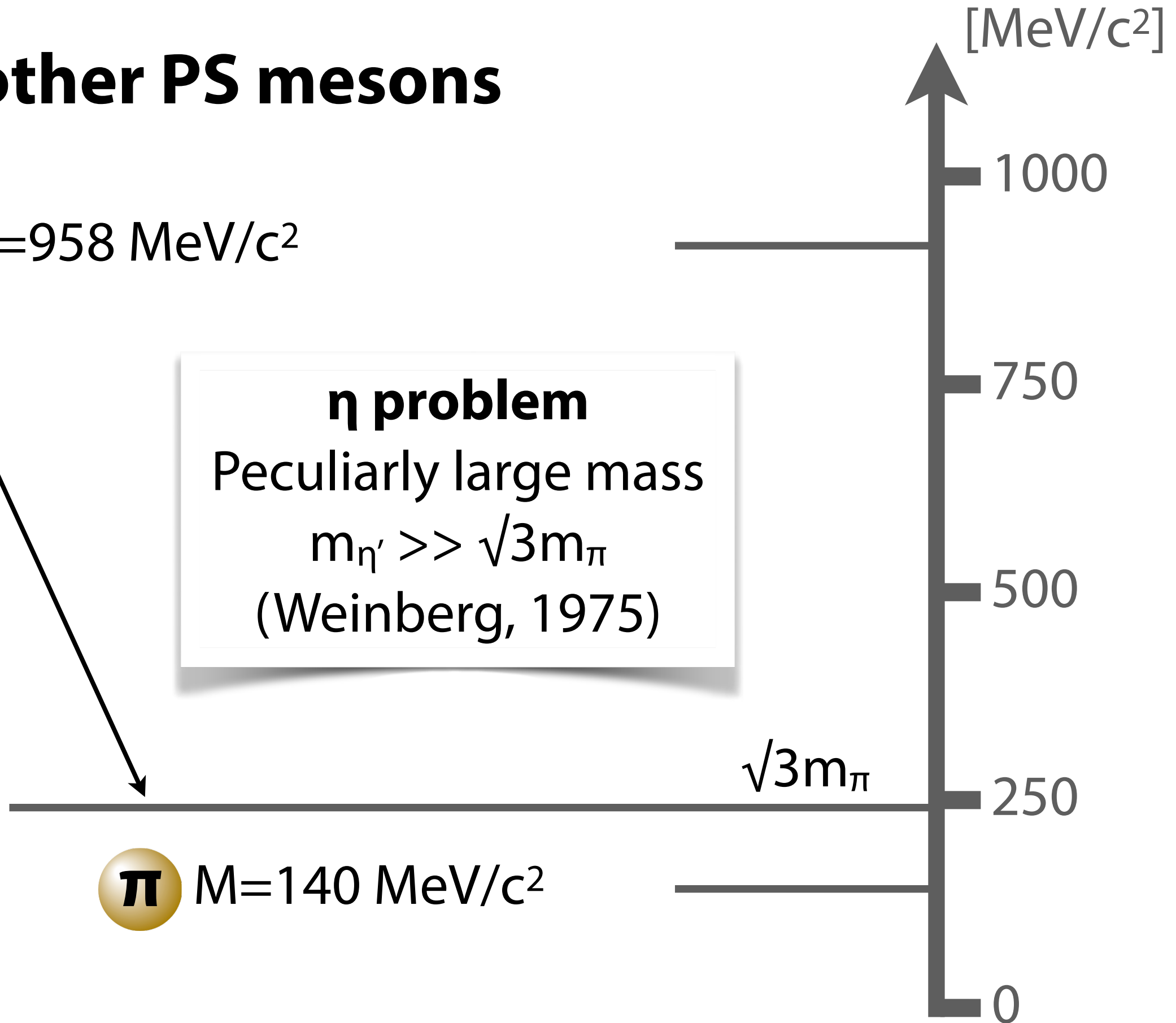


$M=958 \text{ MeV}/c^2$

**$\eta$  problem**  
Peculiarly large mass  
 $m_{\eta'} \gg \sqrt{3}m_{\pi}$   
(Weinberg, 1975)

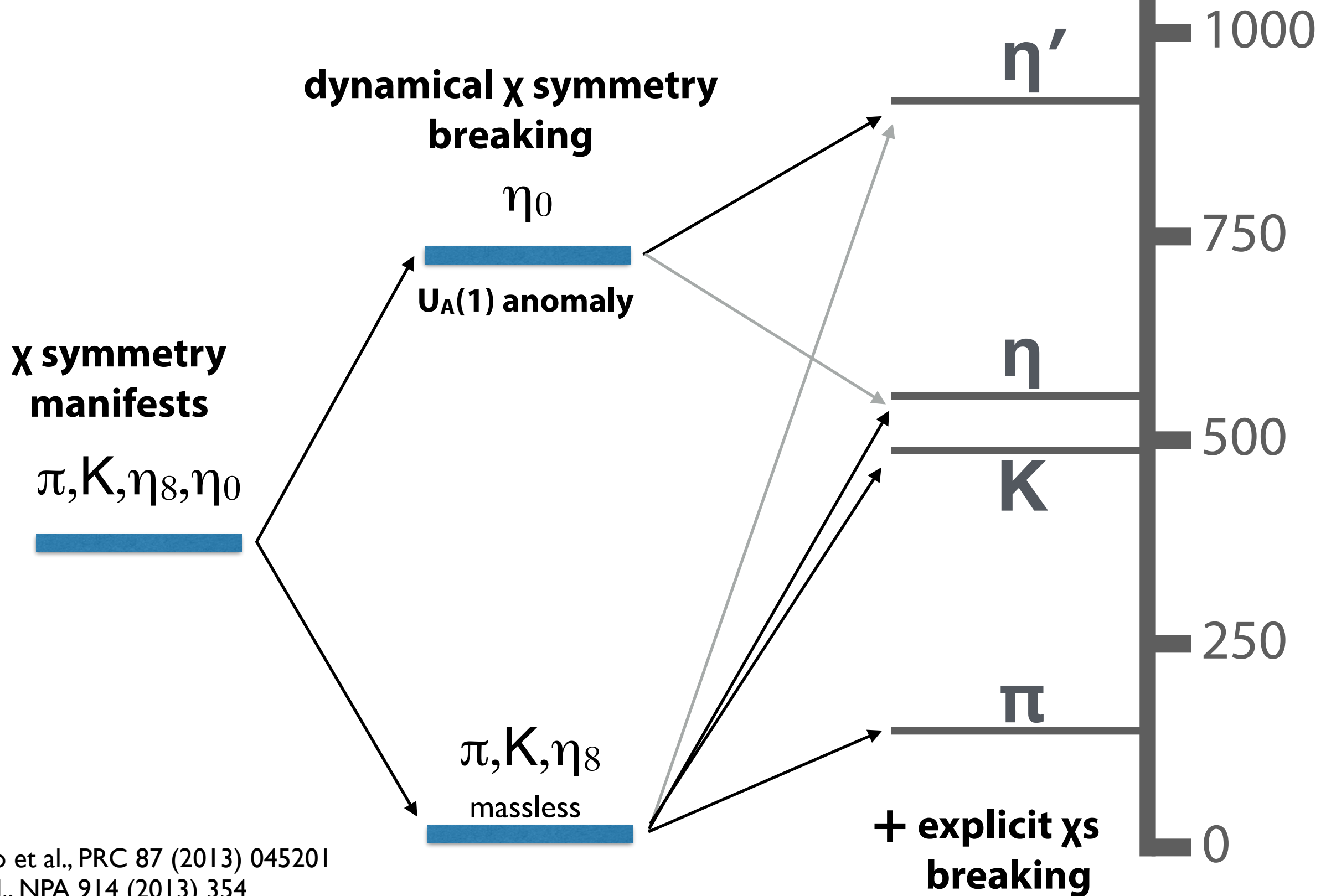


$M=140 \text{ MeV}/c^2$





# Masses of Pseudo-Scalar Mesons with various symmetry breaking patterns

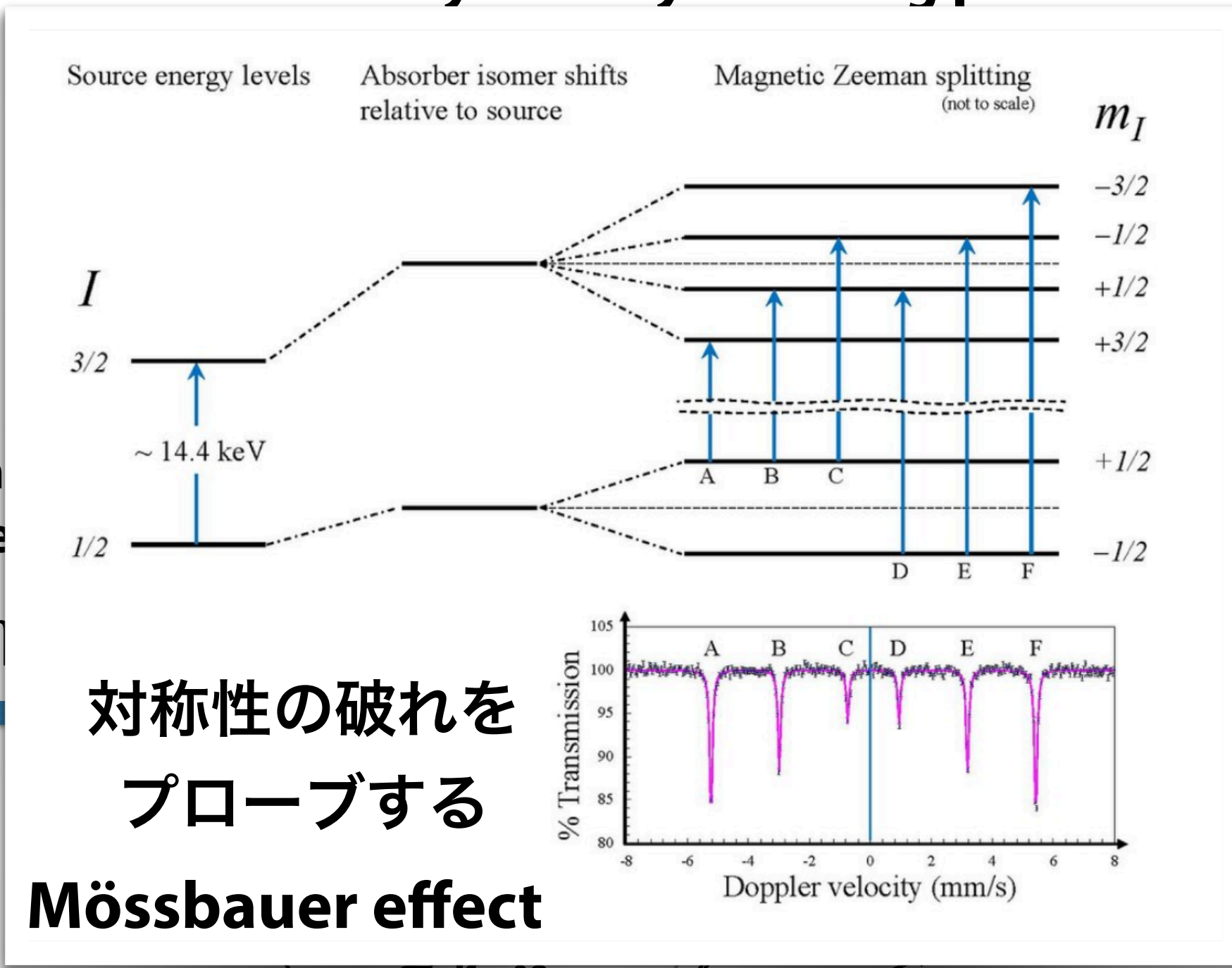


Nagahiro et al., PRC 87 (2013) 045201  
 Jido et al., NPA 914 (2013) 354



# Masses of Pseudo-Scalar Mesons with various symmetry breaking patterns

$\chi$  symm  
manife  
 $\pi, K, \eta$

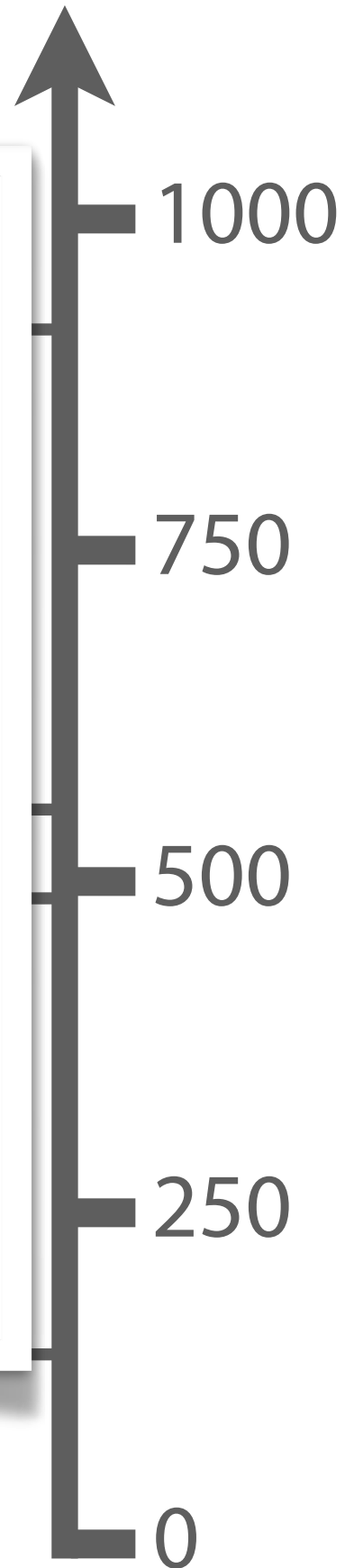


対称性の破れを  
プローブする

**Mössbauer effect**

$\pi, K, \eta$   
massless

**+ explicit  $\chi$ s  
breaking**

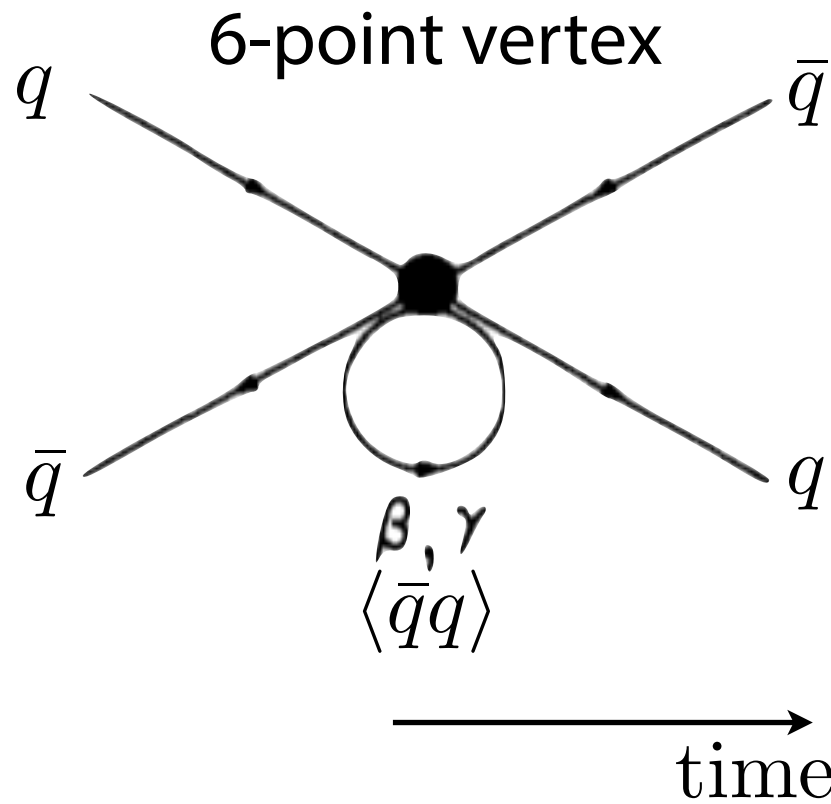


Nagahiro et al., PRC 87 (2013) 045201  
Jido et al., NPA 914 (2013) 354



# Large $\eta'$ mass = $U_A(1) \times$ chiral condensate

$U_A(1)$  symmetry breaking term of effective Lagrangian



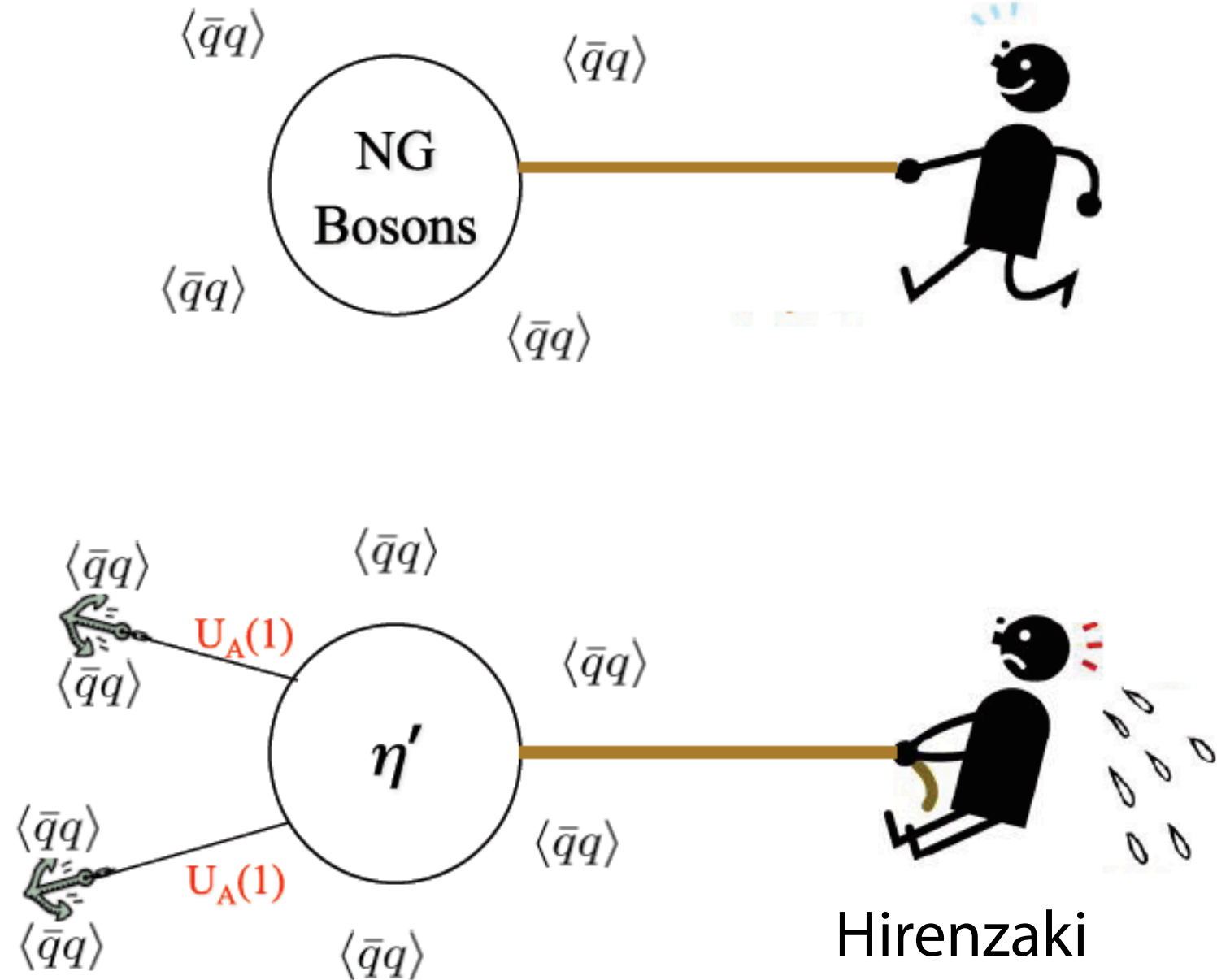
Kobayashi-Maskawa-'t Hooft interaction

Kobayashi, Maskawa, PTP44(70)1422

't Hooft, PRD14(76)3432.

T. Kunihiro, Phys. Lett. B219(89)363.

Klimt, Lutz, Vogl, Weise, NPA516(90)429.

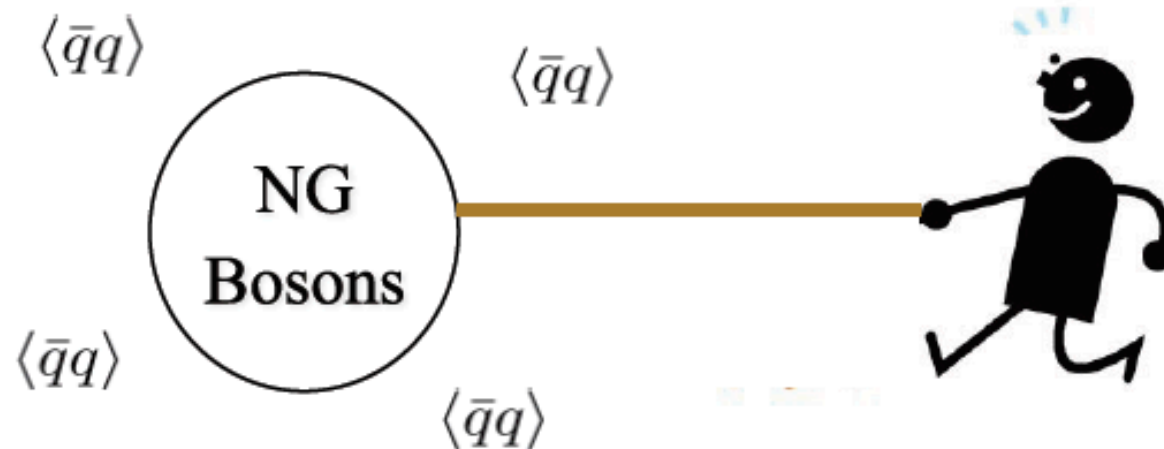


Hirenzaki



# Large $\eta'$ mass = $U_A(1) \times$ chiral condensate

$U_A(1)$  symmetry breaking term of effective Lagrangian

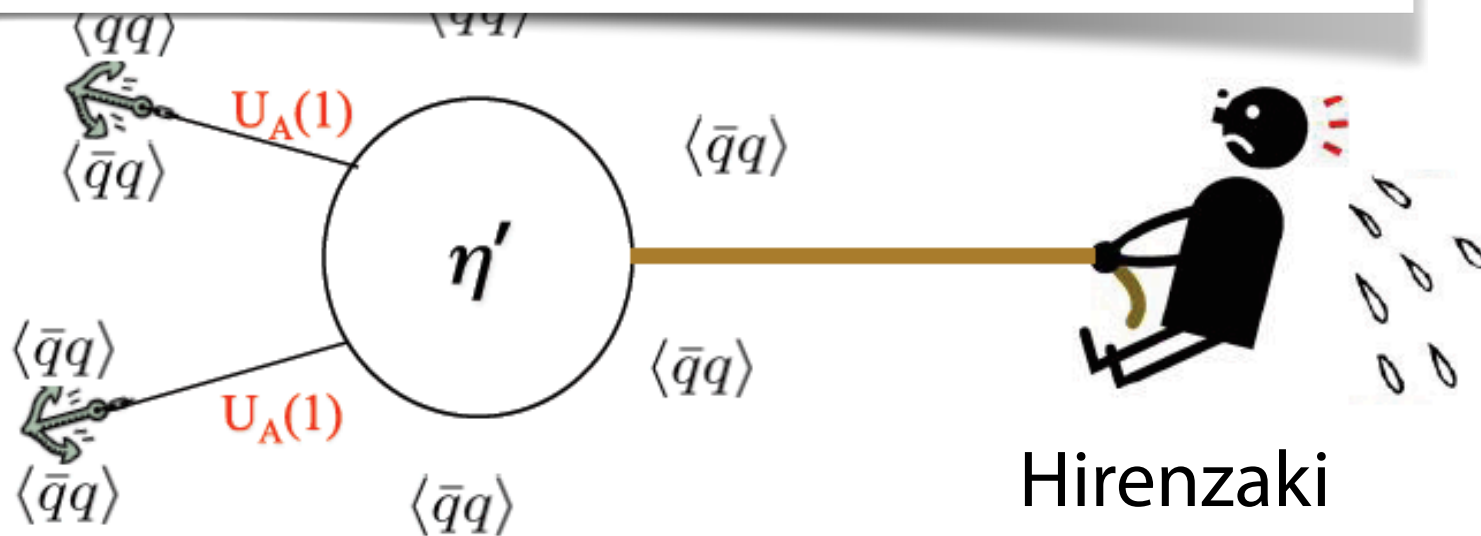


The question is "What happens if  $\langle qq \rangle$  is smaller?"

$\langle \bar{q}q \rangle$

time

Kobayashi-Maskawa-'t Hooft interaction



Hirenzaki

Kobayashi, Maskawa, PTP44(70)1422

't Hooft, PRD14(76)3432.

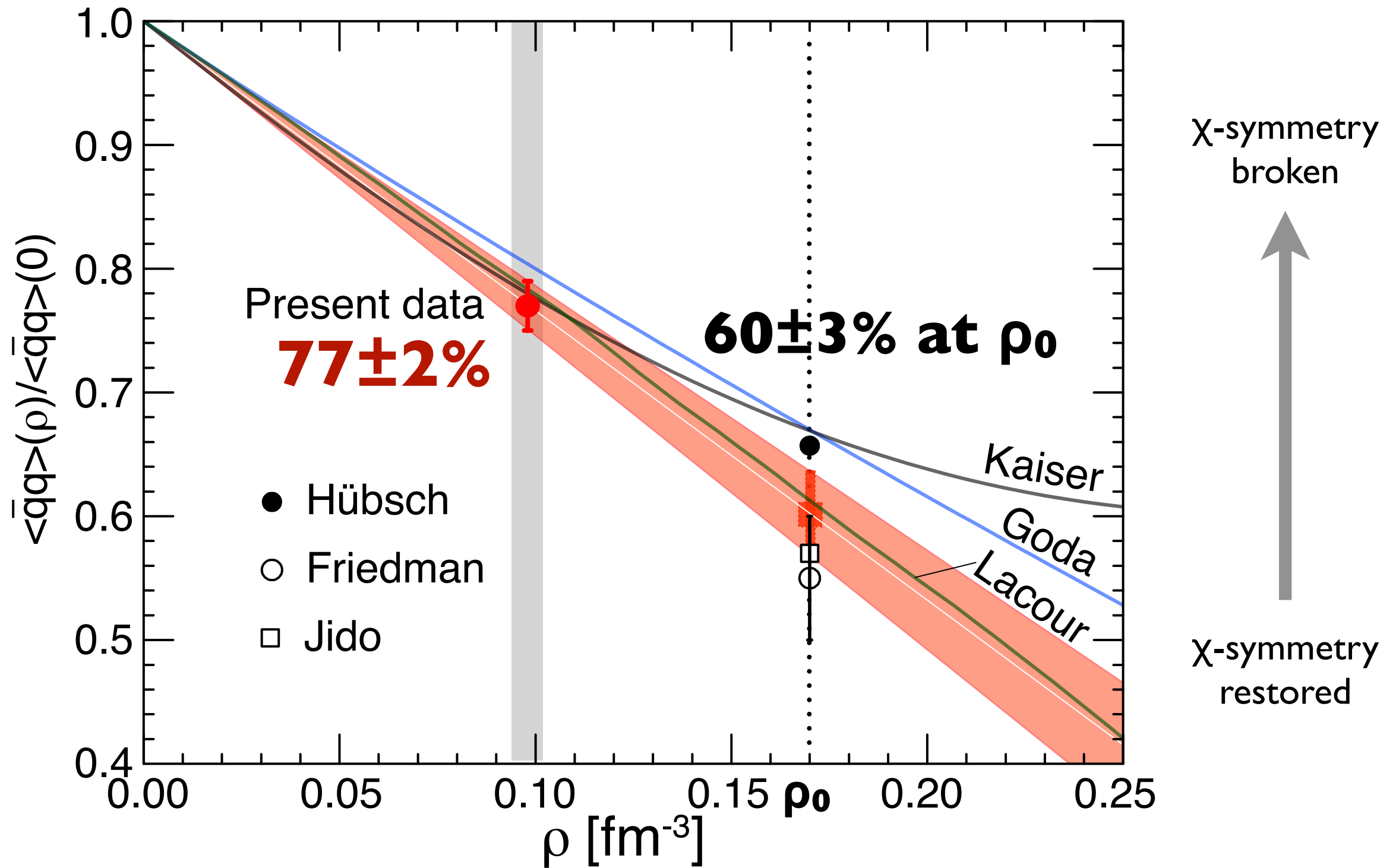
T. Kunihiro, Phys. Lett. B219(89)363.

Klimt, Lutz, Vogl, Weise, NPA516(90)429.



# Chiral condensate decreases in nuclear matter

## ~pionic atom spectroscopy~



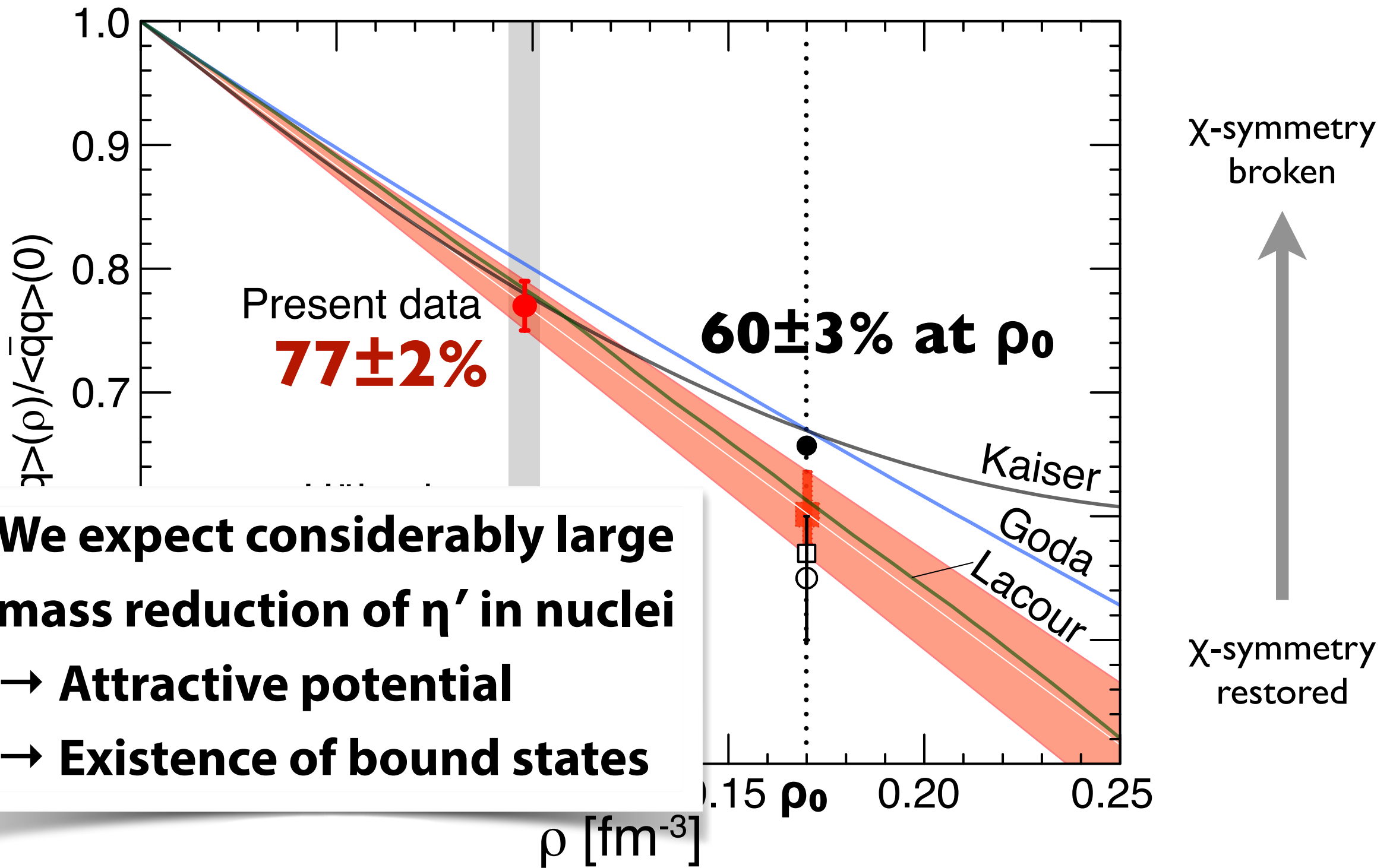
T. Nishi, Kl et al., Nature Physics **19**, 788 (2023)

Article DOI: 10.1038/s41567-023-02001-x



# Chiral condensate decreases in nuclear matter

## ~pionic atom spectroscopy~



**We expect considerably large mass reduction of  $\eta'$  in nuclei**

- **Attractive potential**
- **Existence of bound states**

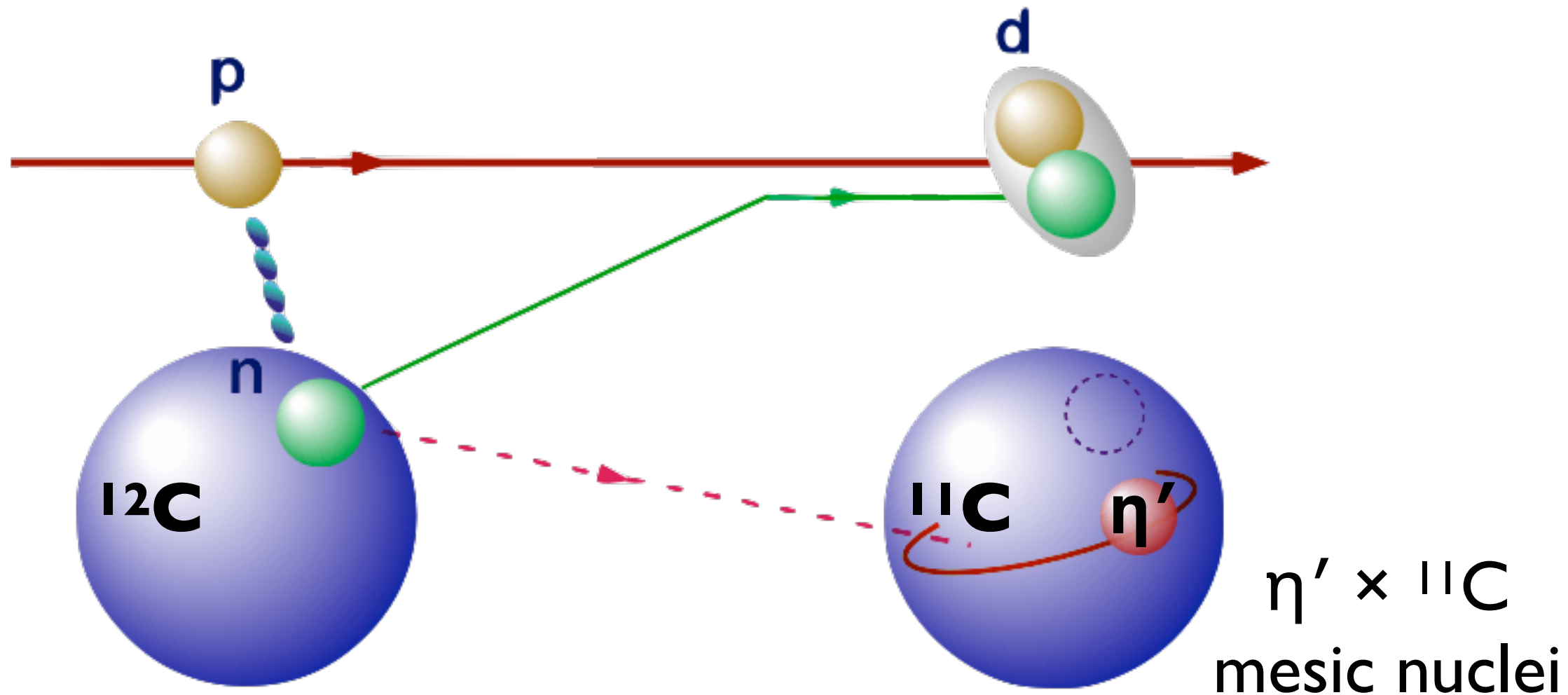
T. Nishi, Kl et al., Nature Physics **19**, 788 (2023)

Article DOI: 10.1038/s41567-023-02001-x



# $\eta'$ Mesic Nuclei in $(p,d)$ Reaction

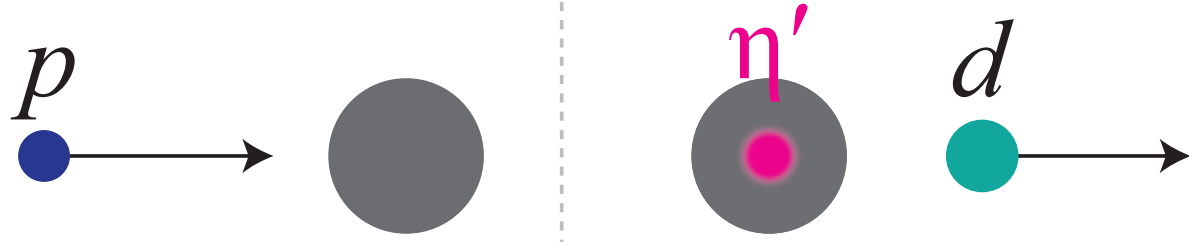
$\eta'$  transfer reaction + missing mass measurement



$$\underline{T_p = 2.50 \text{ GeV} \rightarrow q \sim 400 \text{ MeV}/c}$$

# Theoretical Prediction

Signal



$\eta'$ -nucleus potential:

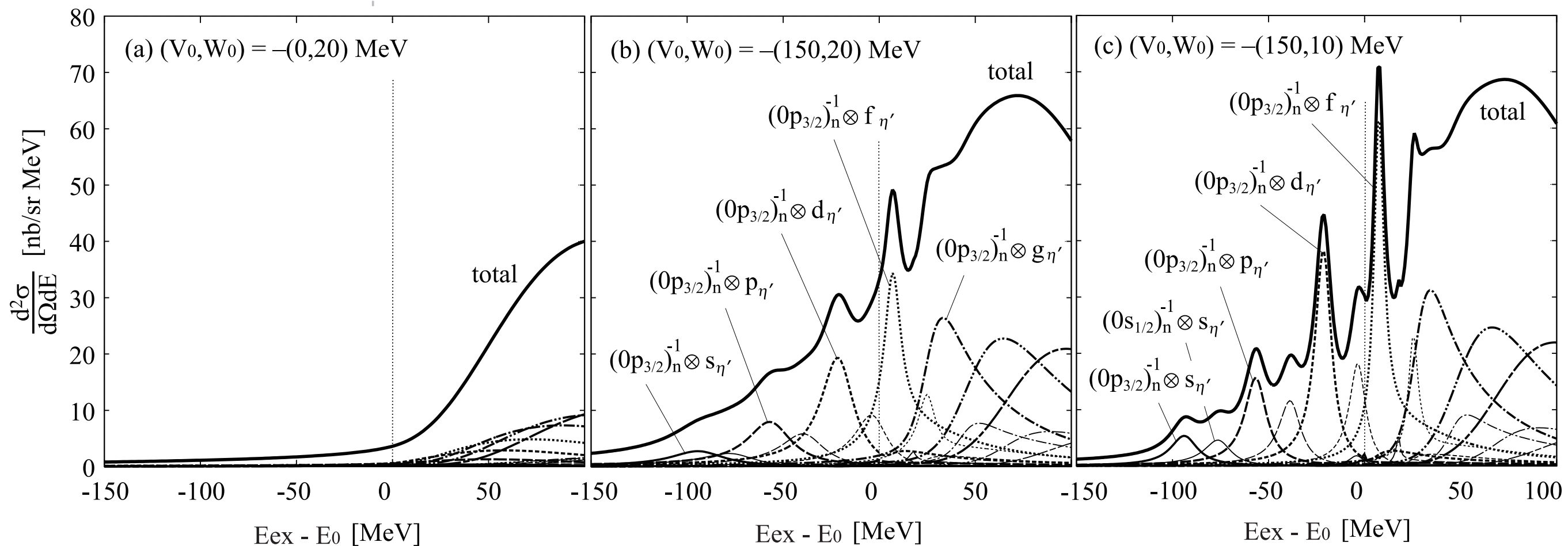
$$V_{\eta'}(r) = (V_0 + iW_0) \frac{\rho(r)}{\rho_0}$$

$\rho$ : nucleon density

$V_0$ : Real potential depth

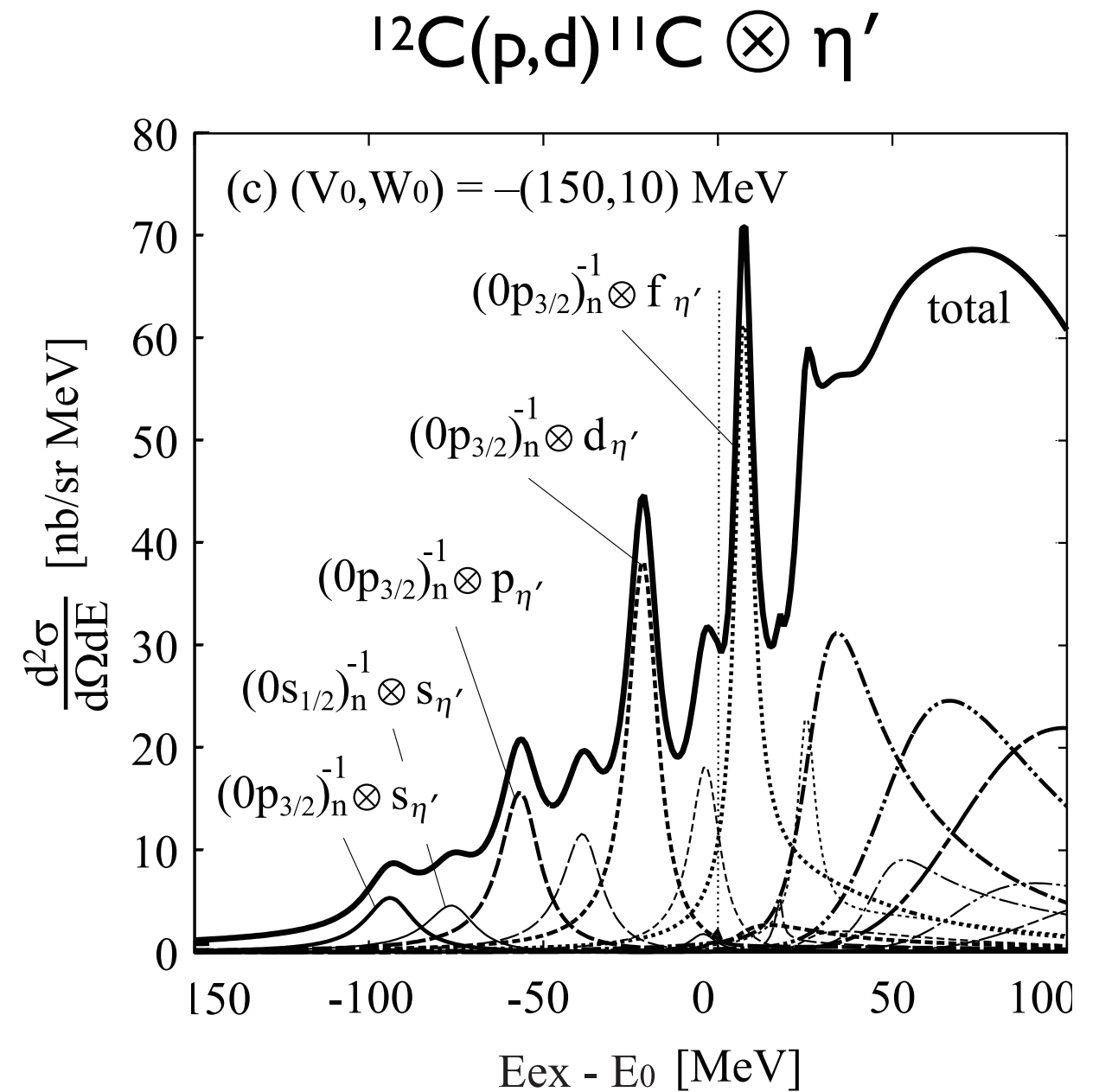
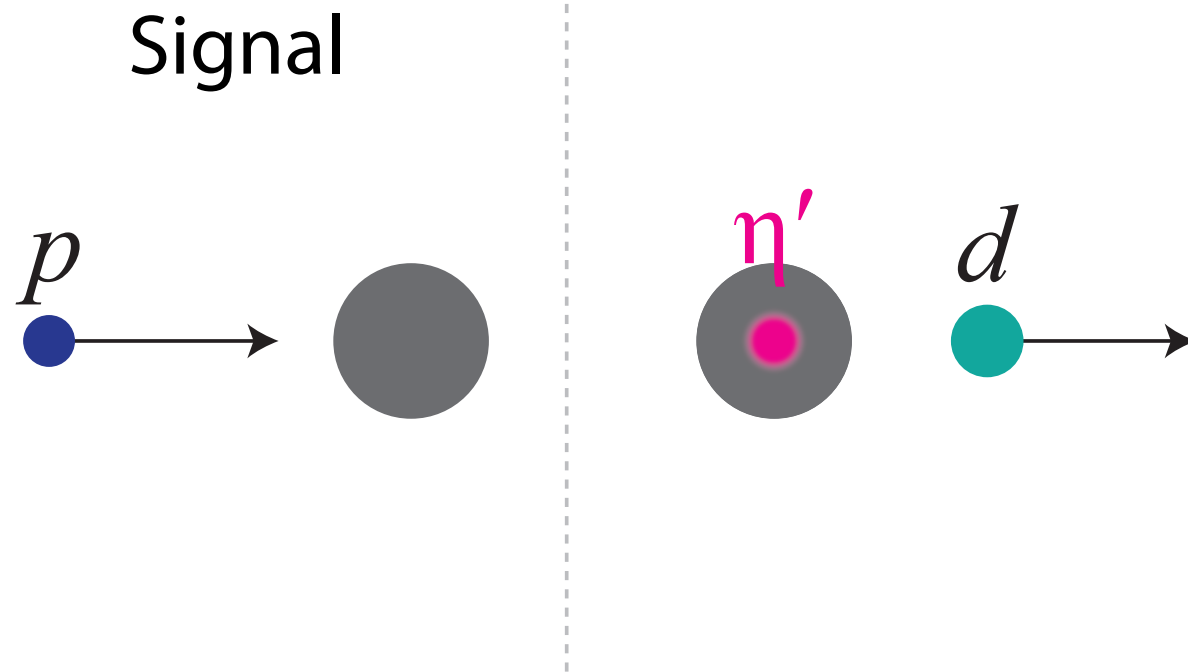
$W_0$ : Imaginary potential depth

$^{12}\text{C}(p,d)$  at  $T_p = 2.50$  GeV





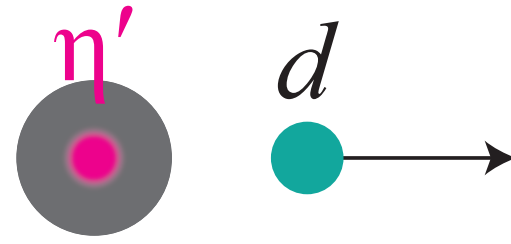
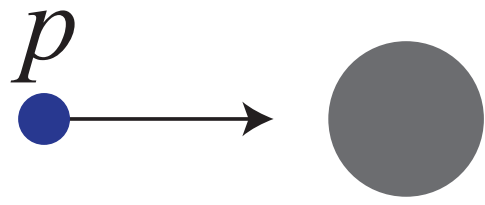
# Missing-mass of $^{12}\text{C}(p,d)$ **inclusive** measurement



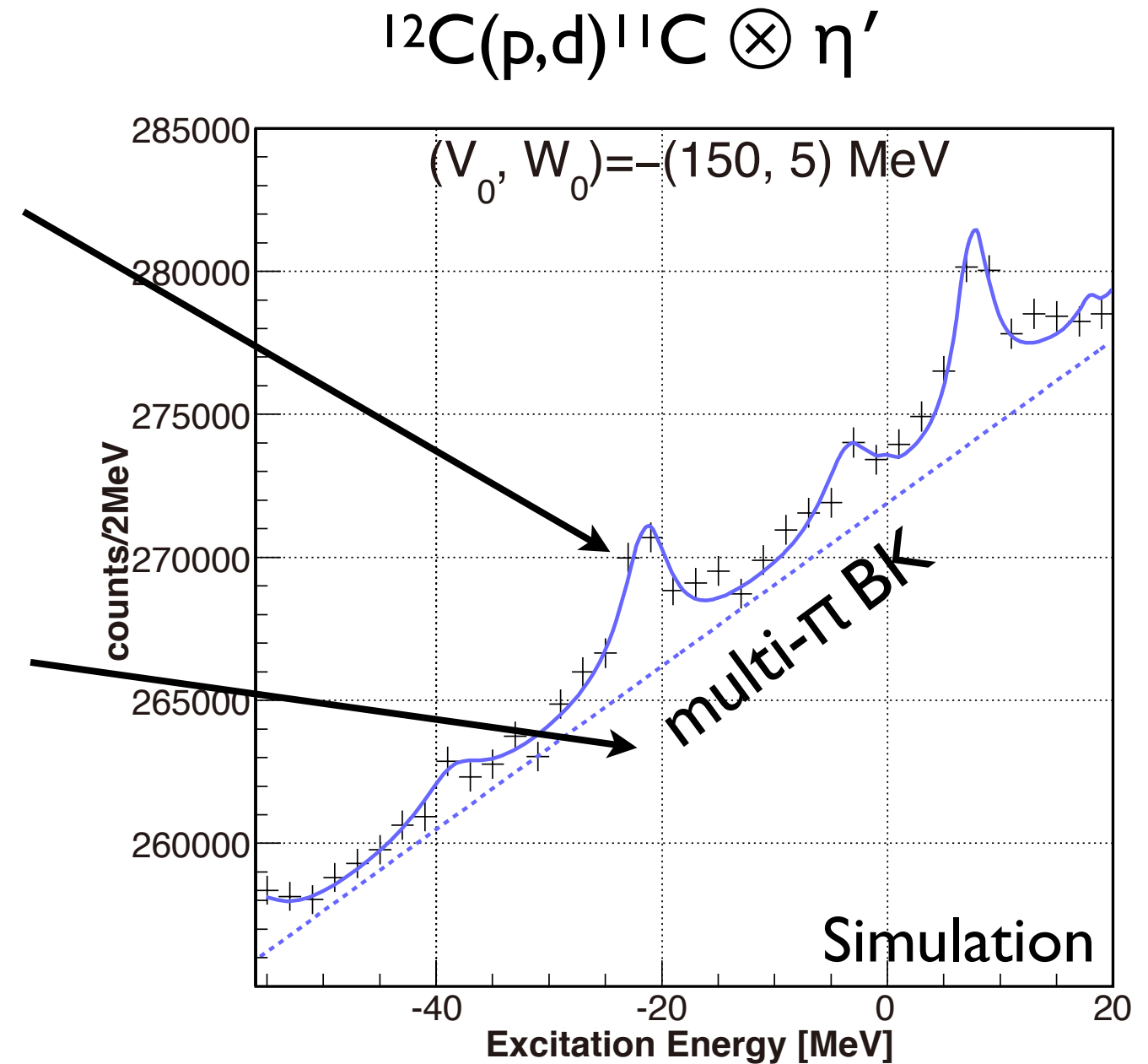
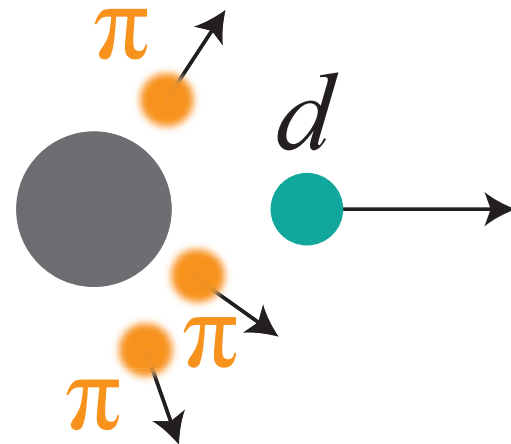
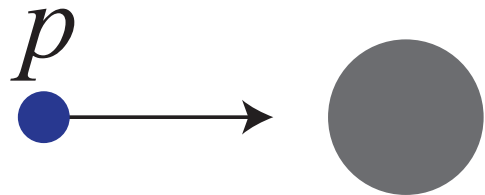
Nagahiro et al., PRC87(13)045201.

# Missing-mass of $^{12}\text{C}(p,d)$ **inclusive** measurement

Signal



Background

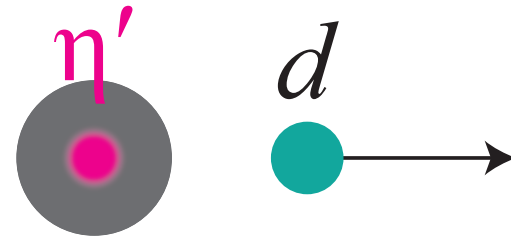
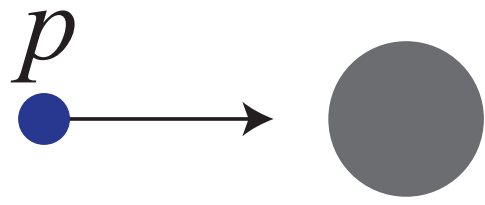


KI, Fujioka et al., PTP 128 (12) 601.

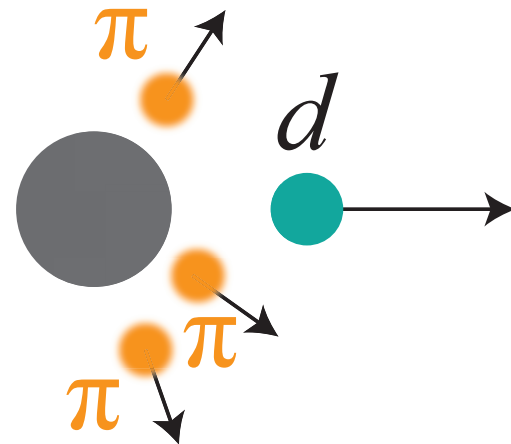
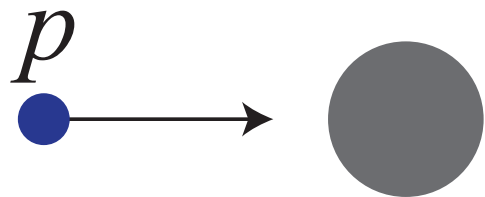


# Missing-mass of $^{12}\text{C}(p,d)$ **inclusive** measurement

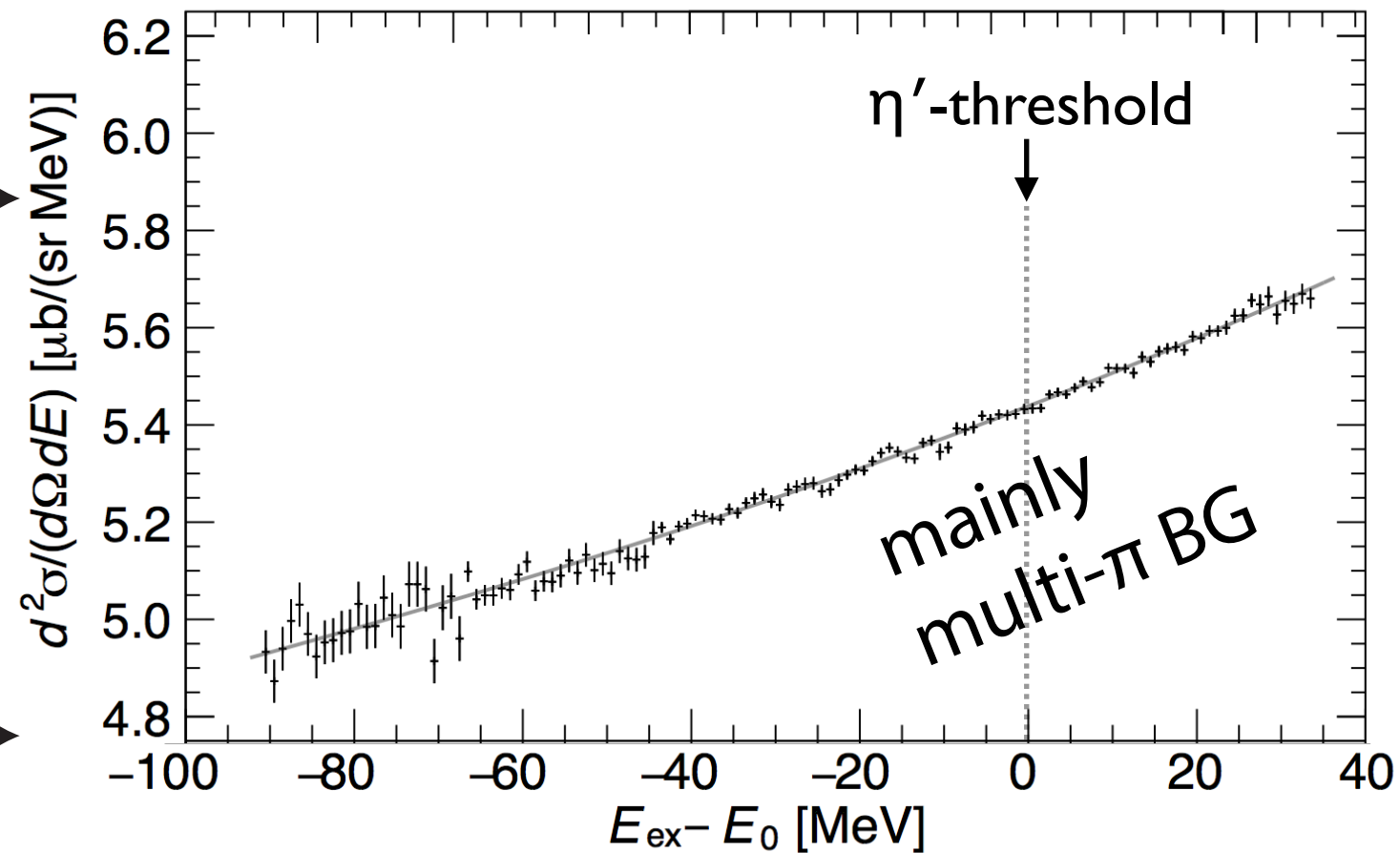
Signal



Background



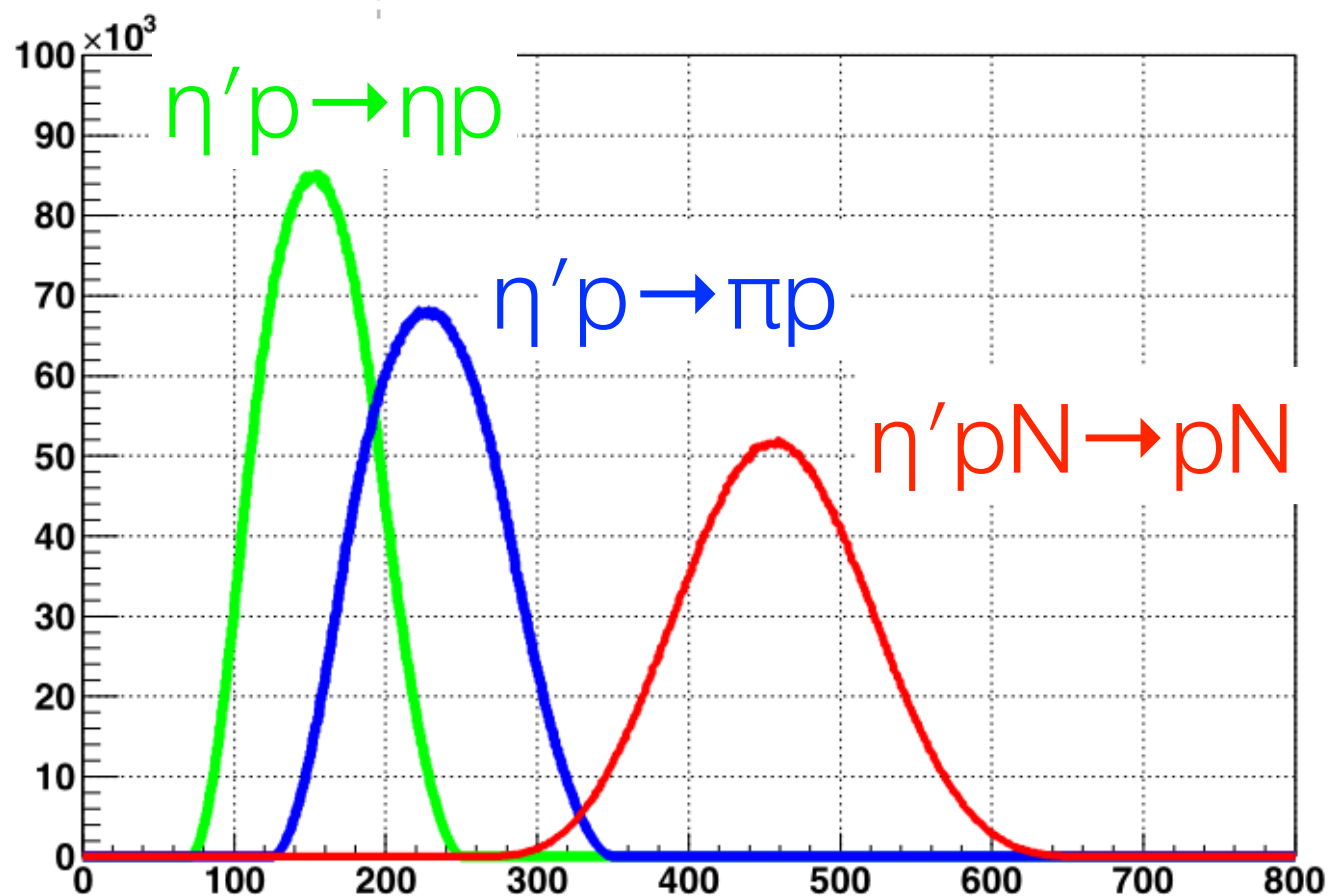
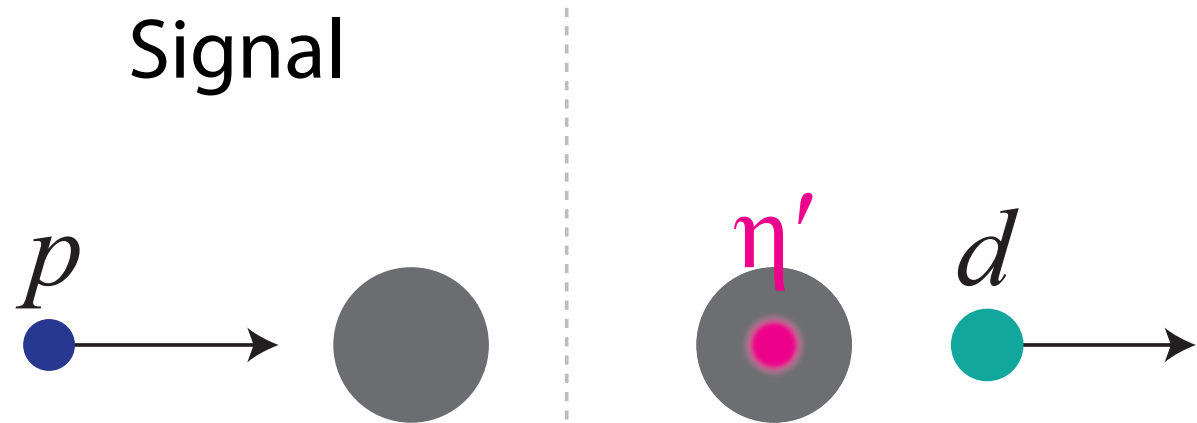
S437: $^{12}\text{C}(p,d)$  in 2014 at FRS/GSI



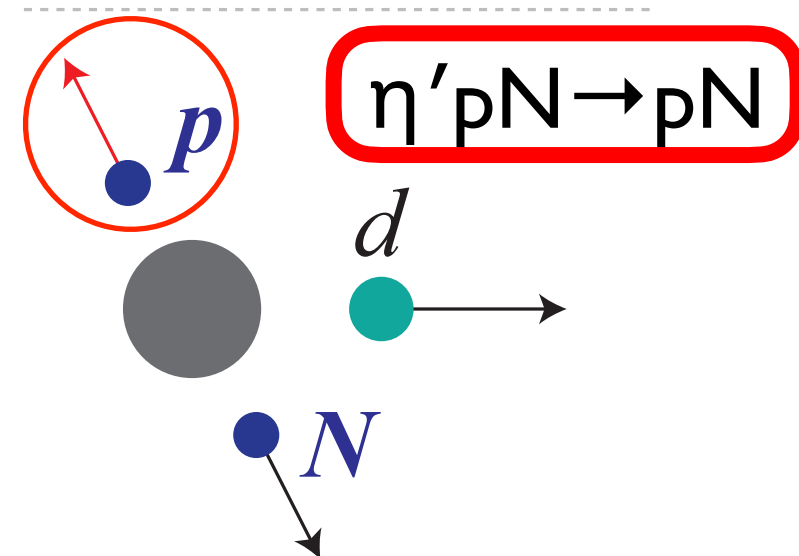
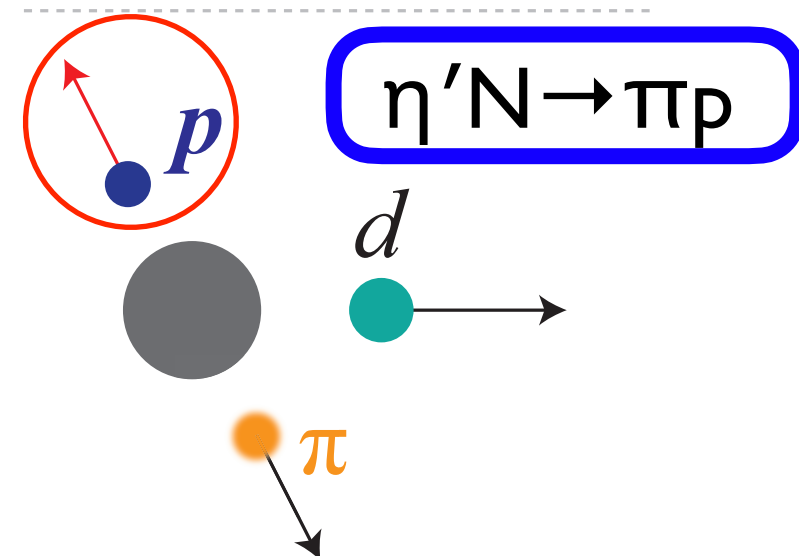
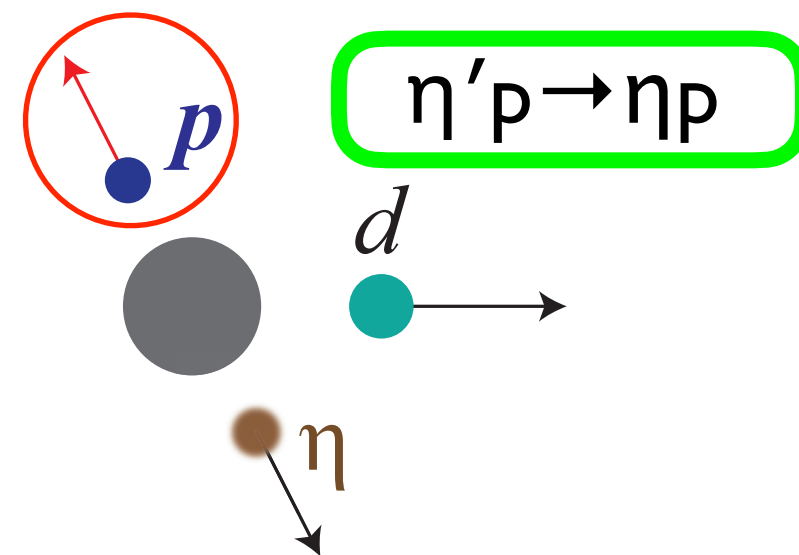
Y.K. Tanaka et al., Phys. Rev. Lett. **117**, 202501(2016)

We achieved extremely high statistical sensitivity demonstrating very good performance of FRS. But, no peak was observed. Major BG=multi  $\pi$ . S/BG cross sections must be  $< 1/100$

# How to select signals



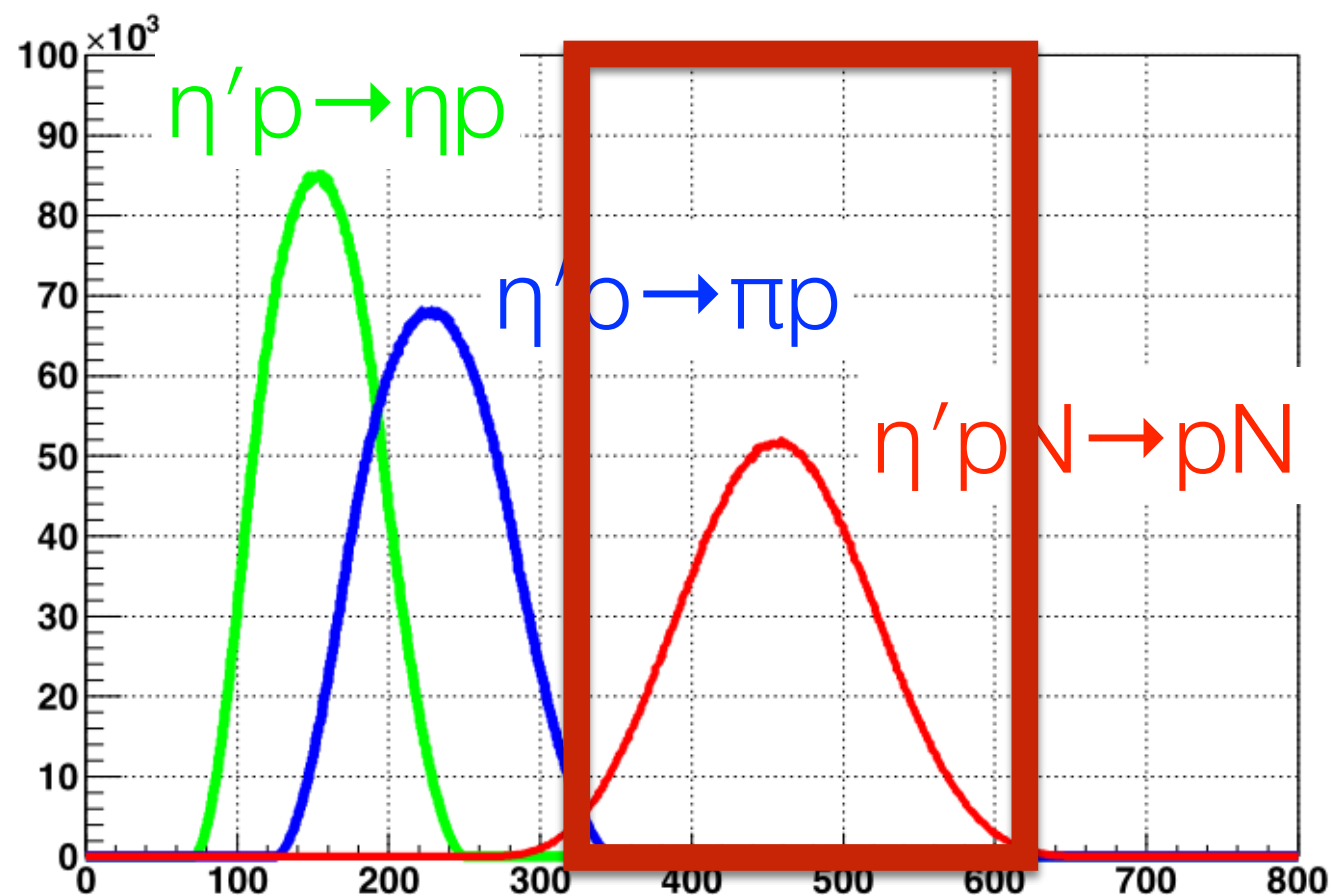
3 major decay modes of  $\eta'$ -mesic nuclei



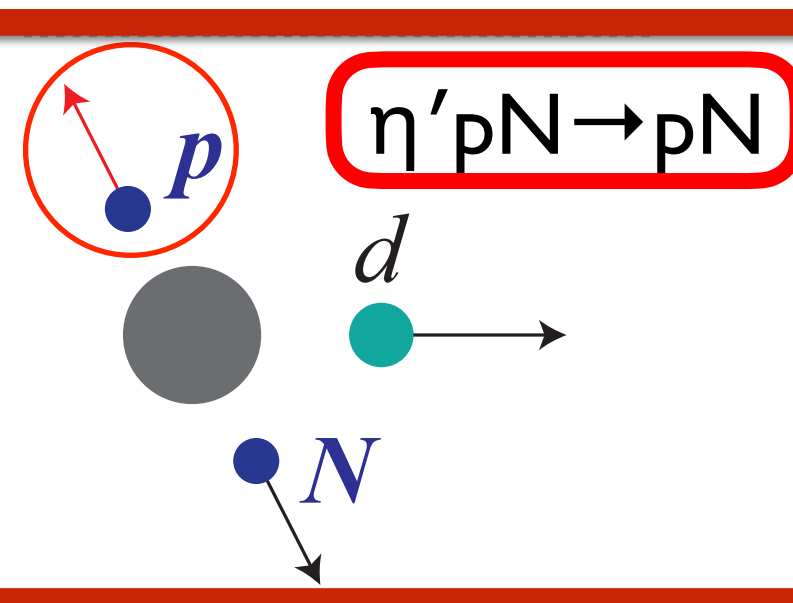
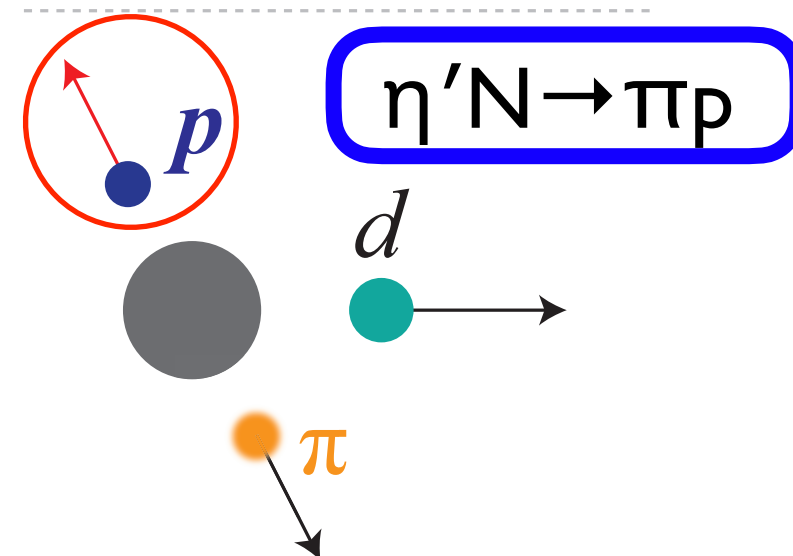
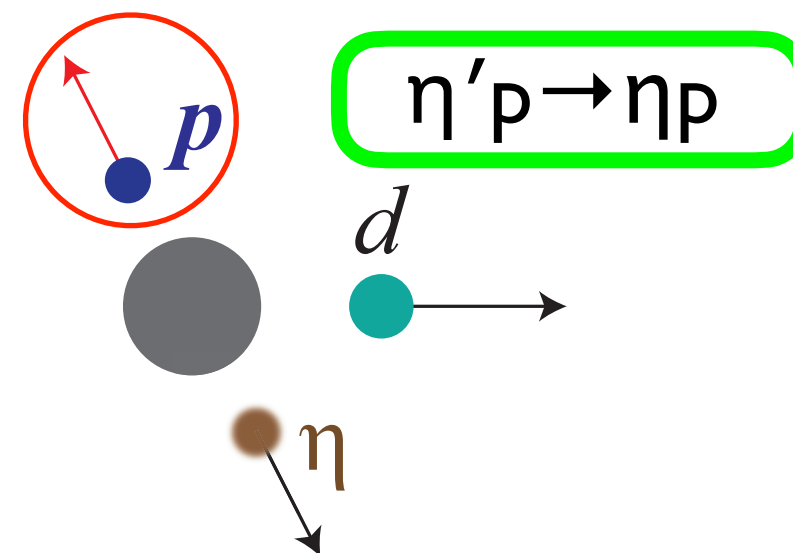


# How to select signals

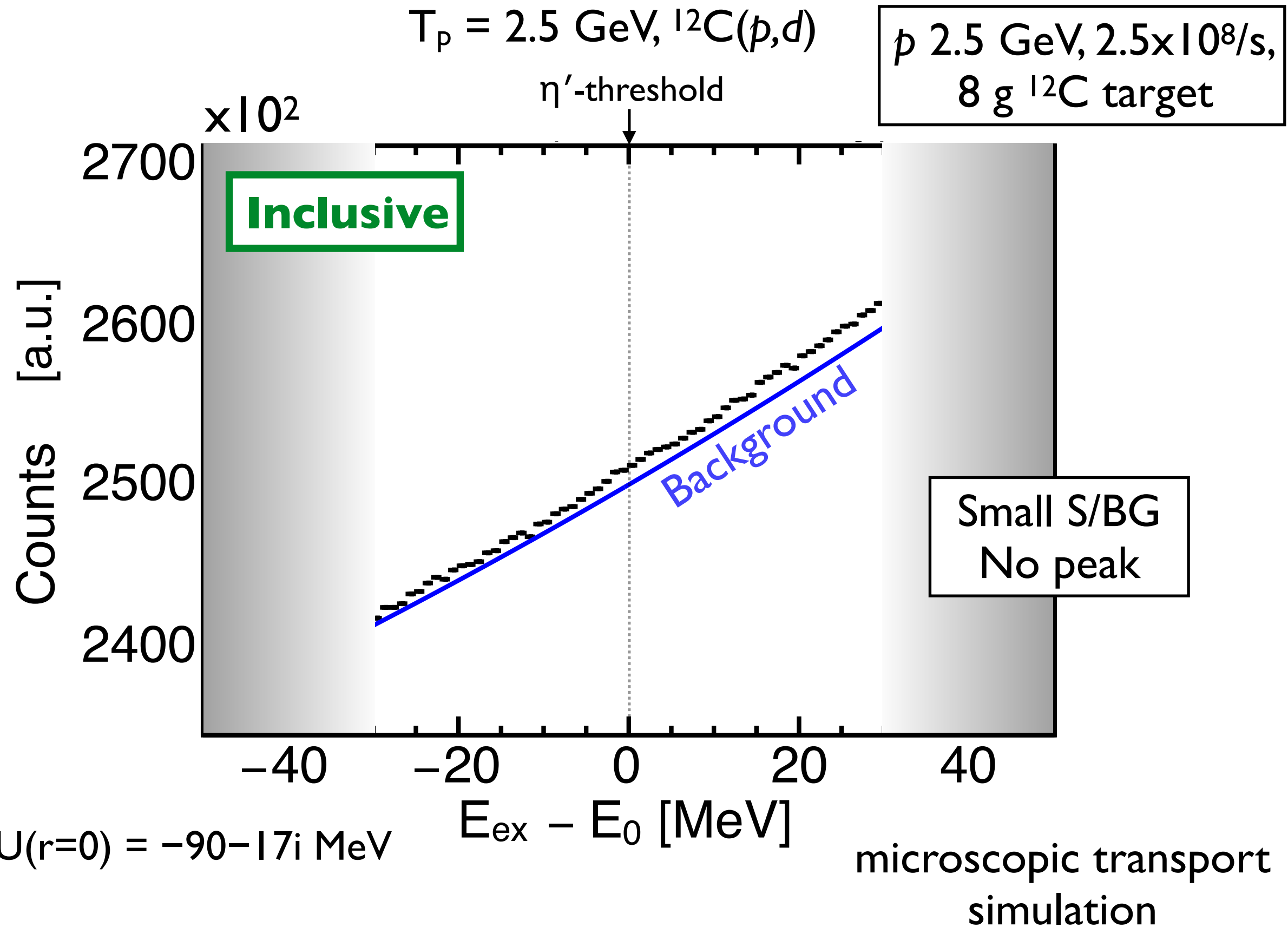
Detect  $p$  (800-1200 MeV/c) emitted in the decay of  $\eta'$ -nuclei for **semi-exclusive** measurement.  
 $f \sim 100$  improvement in S/BG



3 major decay modes of  $\eta'$ -mesic nuclei



# Expected spectrum in 4 days of DAQ at FRS

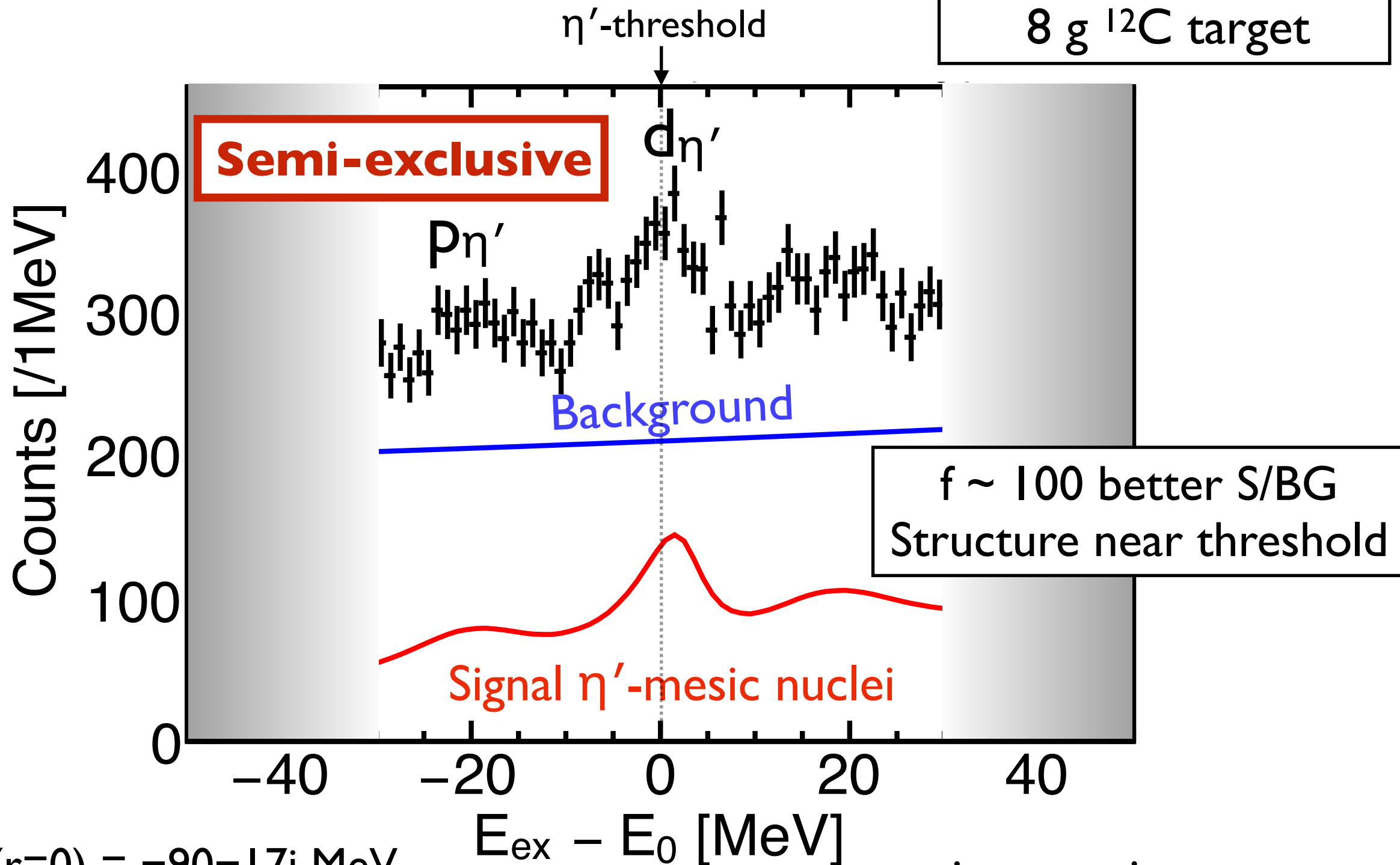




# Expected spectrum in 4 days of DAQ at FRS

$$T_p = 2.5 \text{ GeV}, {}^{12}\text{C}(p, dp)$$

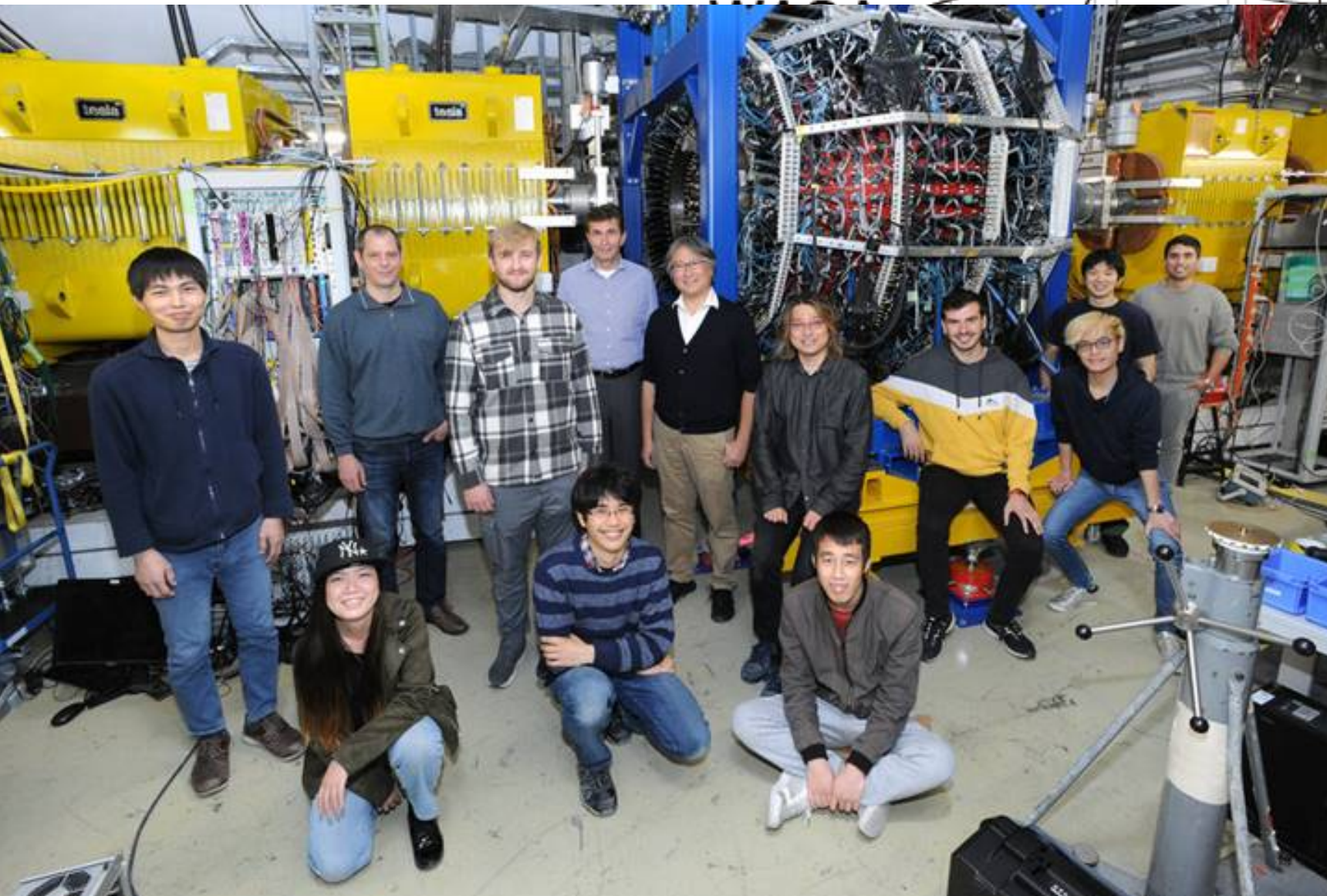
$p$  2.5 GeV,  $2.5 \times 10^8/s$ ,  
8 g  ${}^{12}\text{C}$  target



$$U(r=0) = -90 - 17i \text{ MeV}$$

microscopic transport  
simulation

# Experimental setup : $^{12}\text{C}(p,d)$ in Feb. 2022 together with HypHI

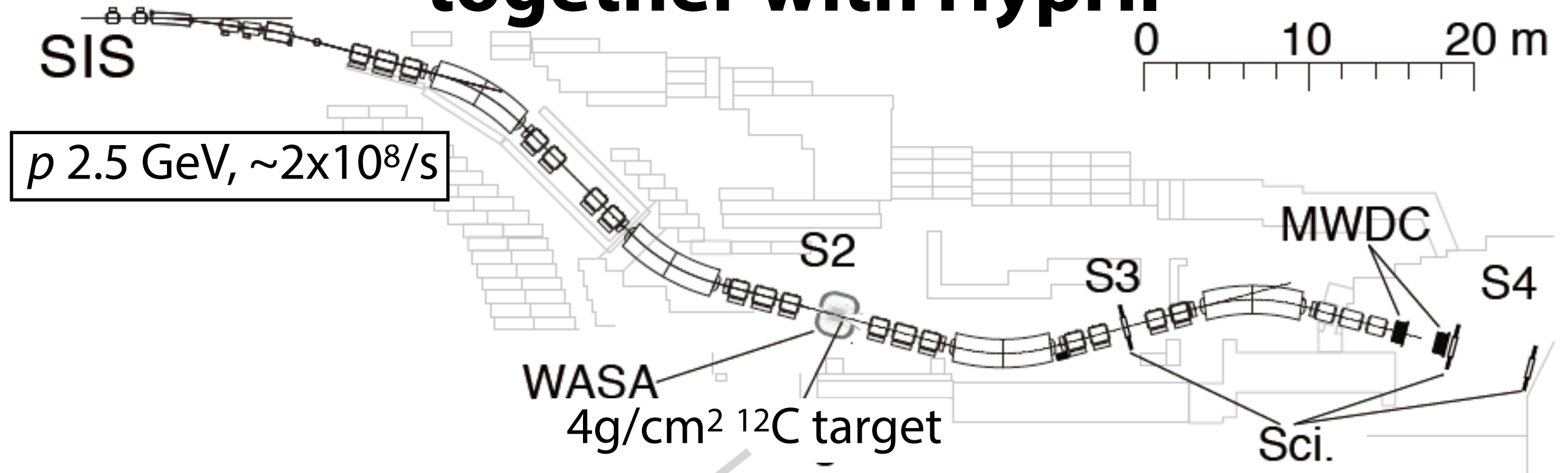


→  
on analysis of  $(p,d)$   
Mass Spectroscopy

ation of forward  
spectrometer and  
id angle detector



# Experimental setup : $^{12}\text{C}(p,dp)$ in Feb. 2022 together with HypHI



←—————→  
**Momentum analysis of ( $p,d$ )  
for Missing Mass Spectroscopy**

**Combination of forward  
high-res. spectrometer and  
large solid angle detector**

**WASA for decay  
 $p$  measurement**

The image shows a detailed cross-sectional view of the WASA detector. It features a central red square representing the target area, surrounded by a dense array of multi-layered detector components in various colors (yellow, blue, green, purple). The detector is mounted on a complex mechanical structure with support beams and various electronic components.

# Inclusive Spectrum at S4

comparable to S437

Acceptance uncorrected

Preliminary

$\sim 1.1 \times 10^7$  *d* events

Counts [MeV]

Resolution  $\sim 2.5$  MeV  $\sigma$

$E_{\text{ex}} - E_0$  [MeV]

Y.K. Tanaka



# Inclusive Spectrum at S4

comparable to S437

**Acceptance uncorrected**

Preliminary

$\sim 1.1 \times 10^7$  *d* events

Counts [MeV]

**Healthy measurement  
Analysis is almost ready**

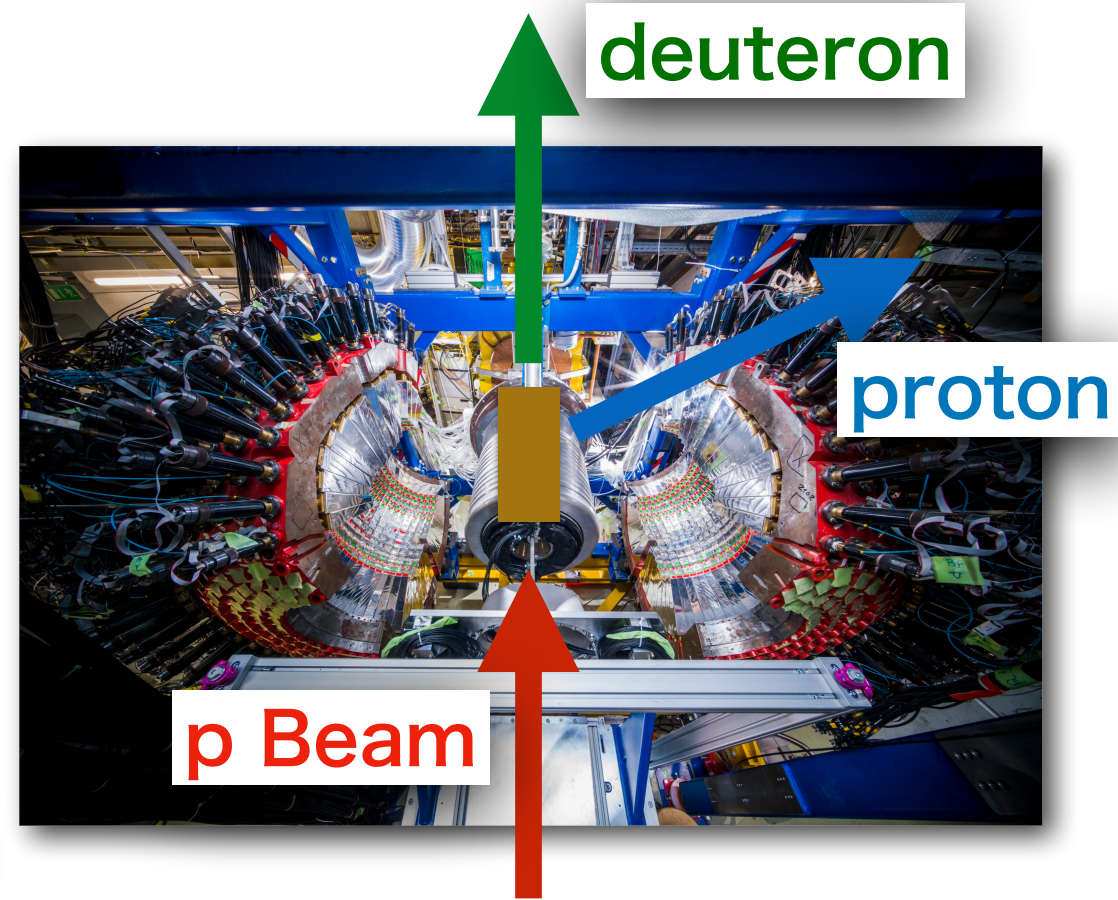
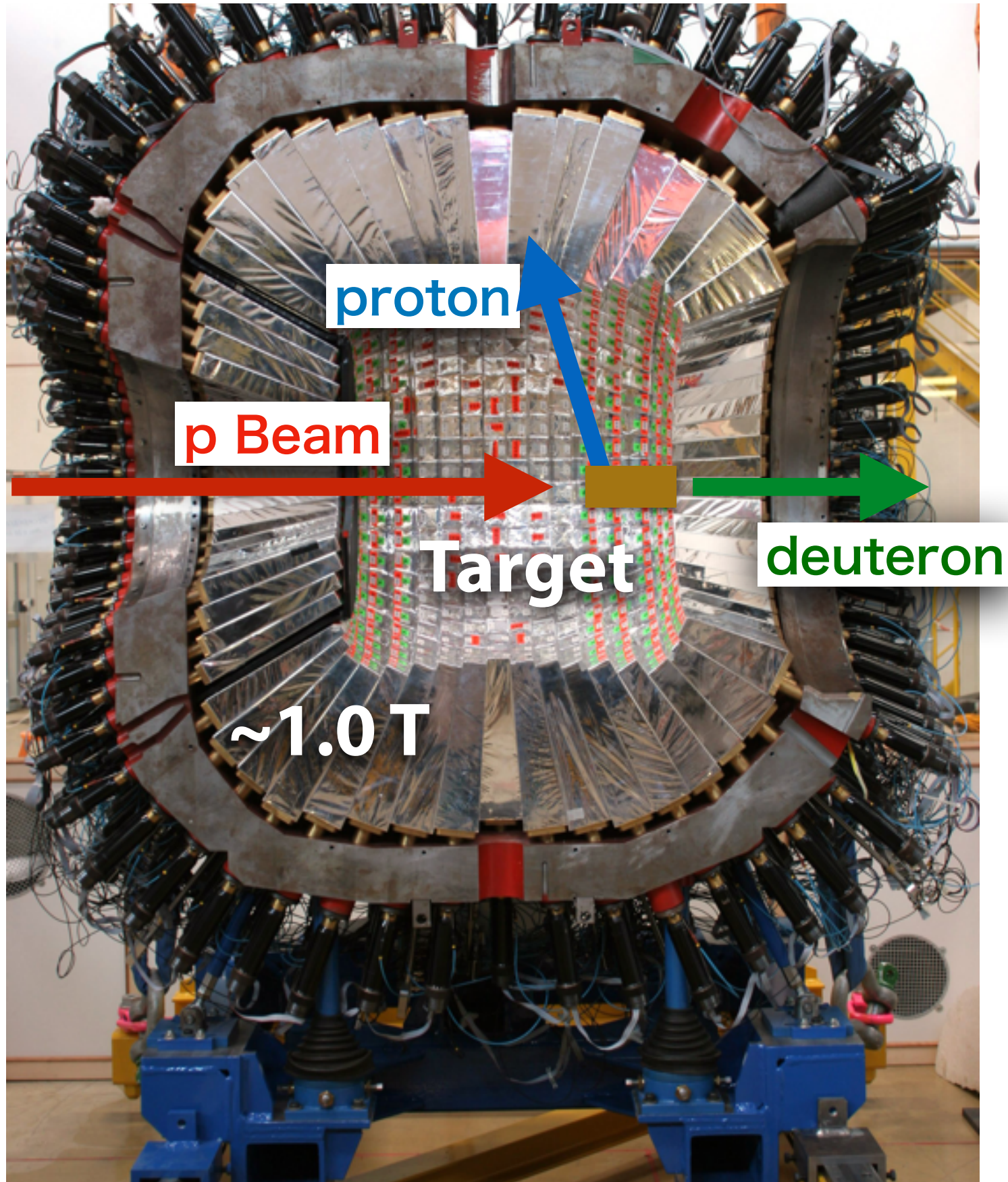
**Resolution  $\sim 2.5$  MeV  $\sigma$**

**$E_{\text{ex}} - E_0$  [MeV]**

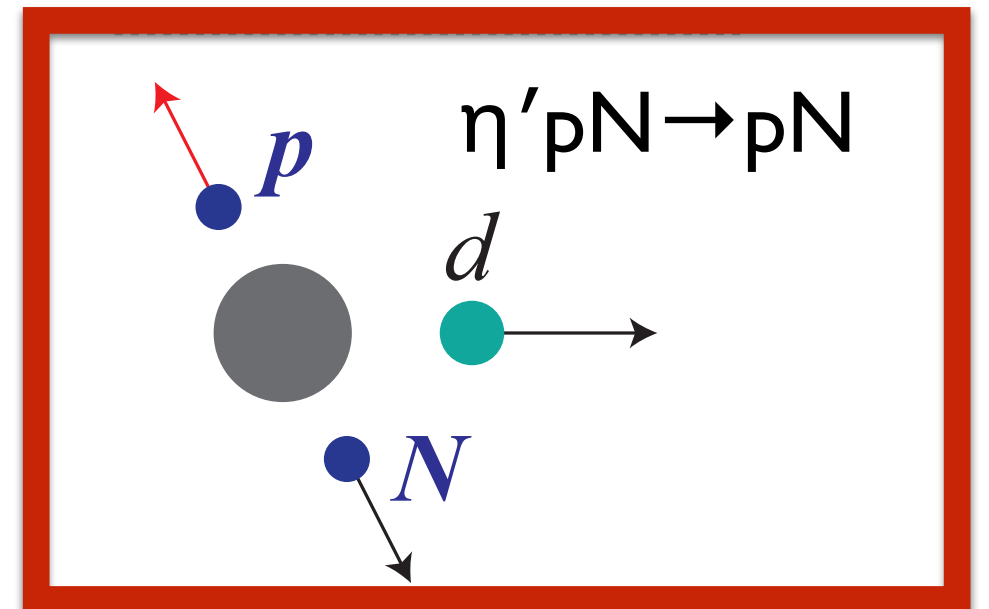
**Y.K. Tanaka**



# Detectors in WASA

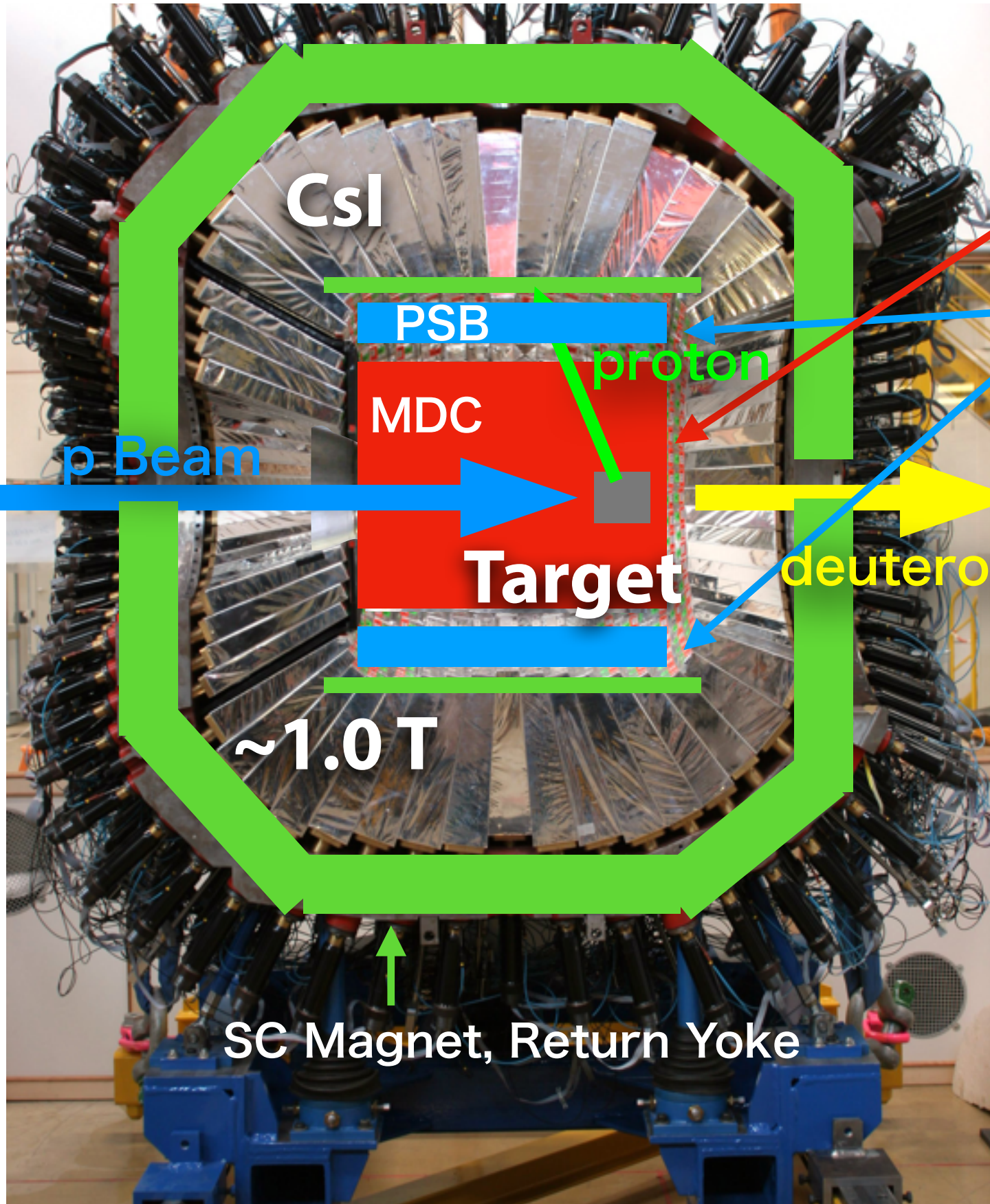


High energy proton tagging  
in coincidence with *forward d*

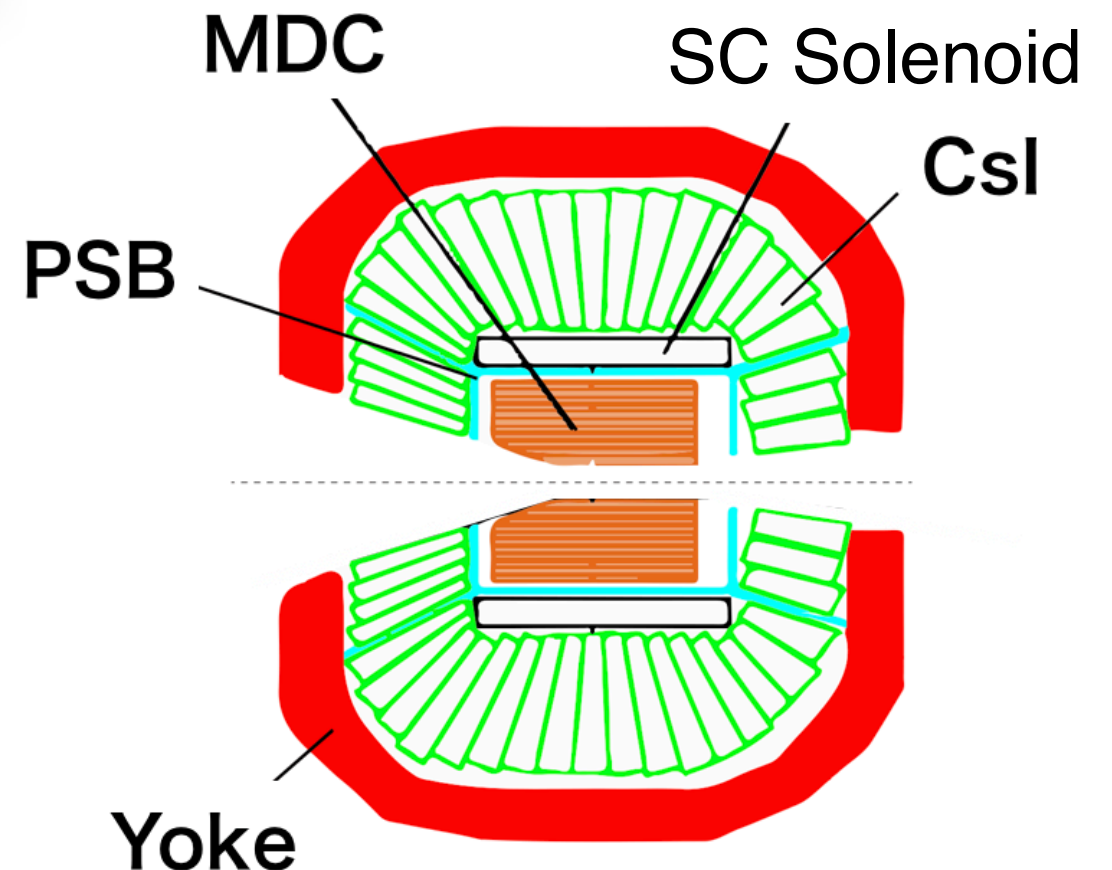




# Detectors in WASA

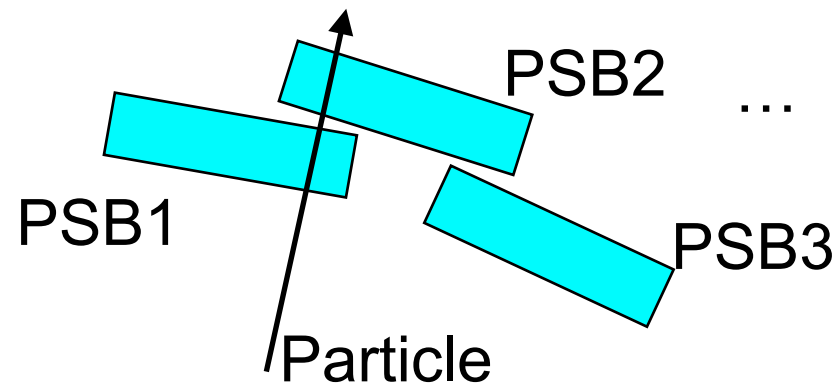


- MDC (Mini Drift Chamber)  
Charged particle tracking
- PSB (Plastic Scintillator Barrel)  
 $\Delta E$  + Timing measurement
- Csl  
 $\gamma$  detection for calibration

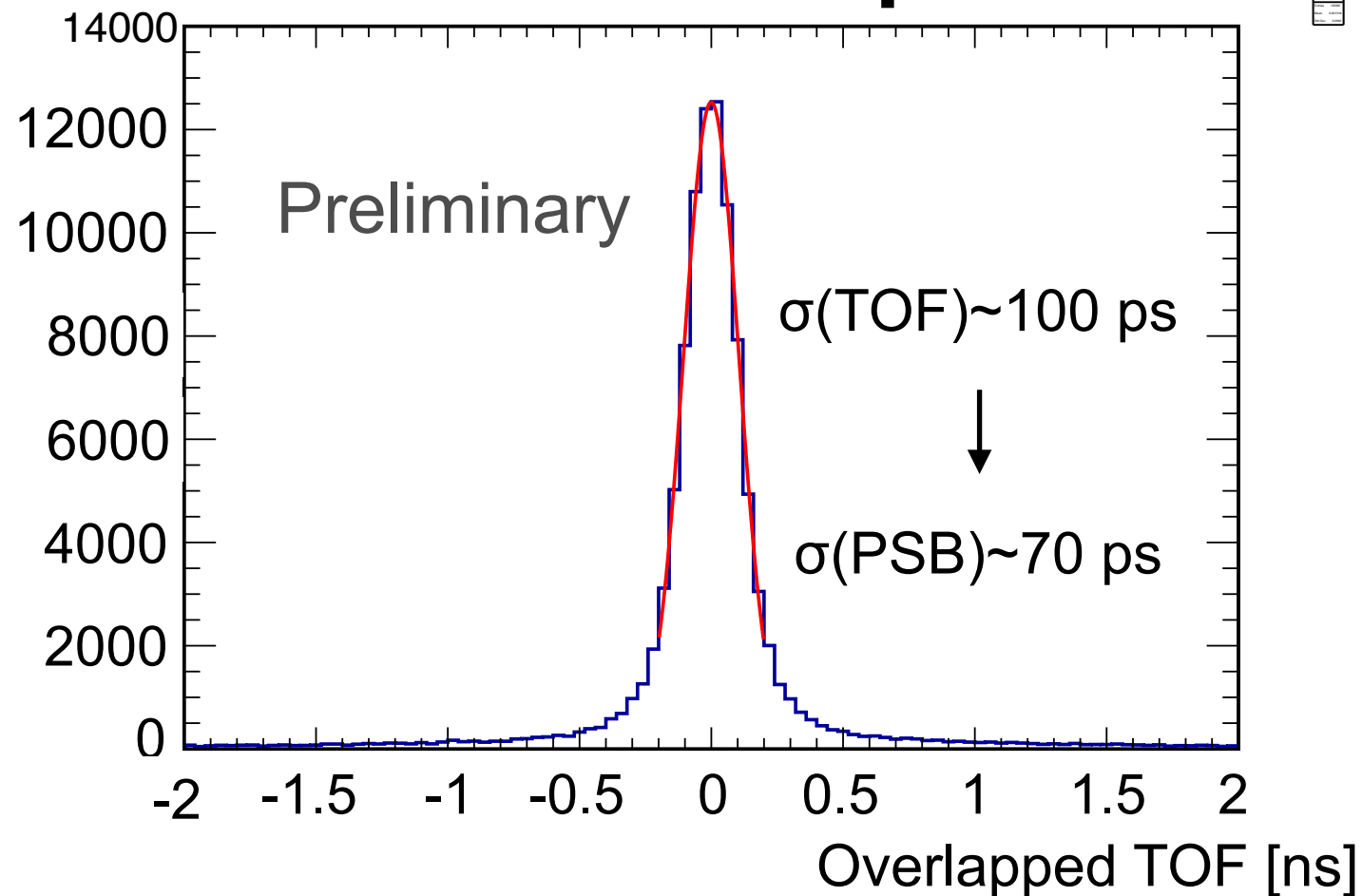




# Plastic Scintillator Barrel



## TOF btw. overlap PSBs

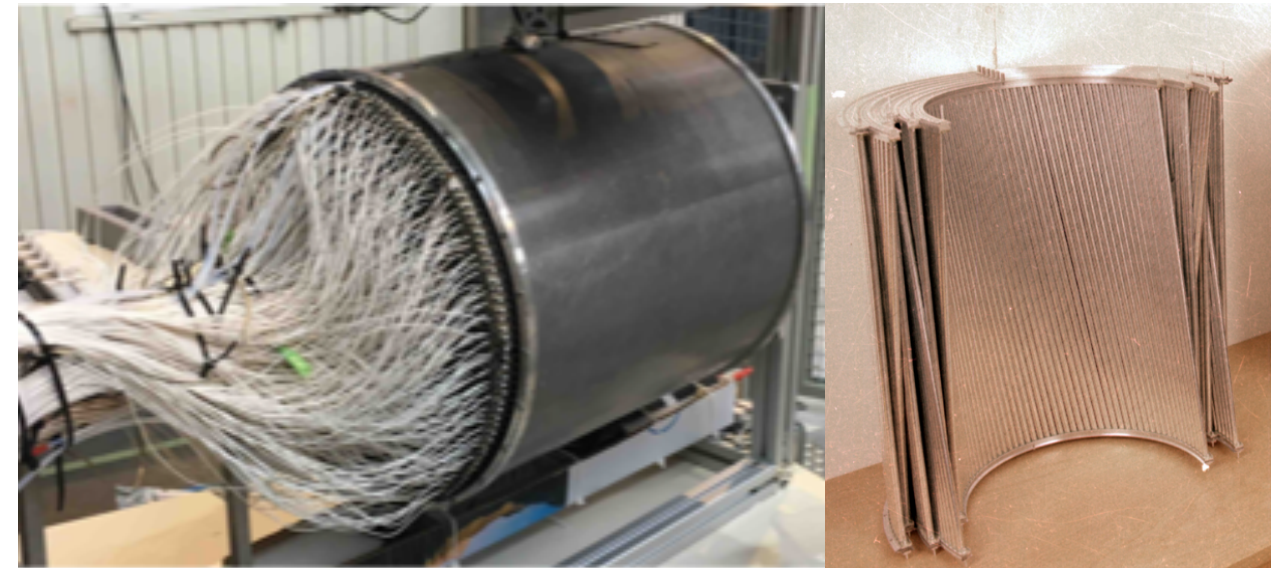


**PSB time resolution**  
 **$\sim 70 \text{ ps } \sigma$**   
**for  $Z=1$  particles**

# Mini Drift Chamber MDC

17 layers  $\sim 2\text{K}$  straw tube detectors

Tracking resolution 250-500  $\mu\text{m}$   
 $\rightarrow \Delta p/p \sim 40\text{-}45\%$  at 1 GeV/c



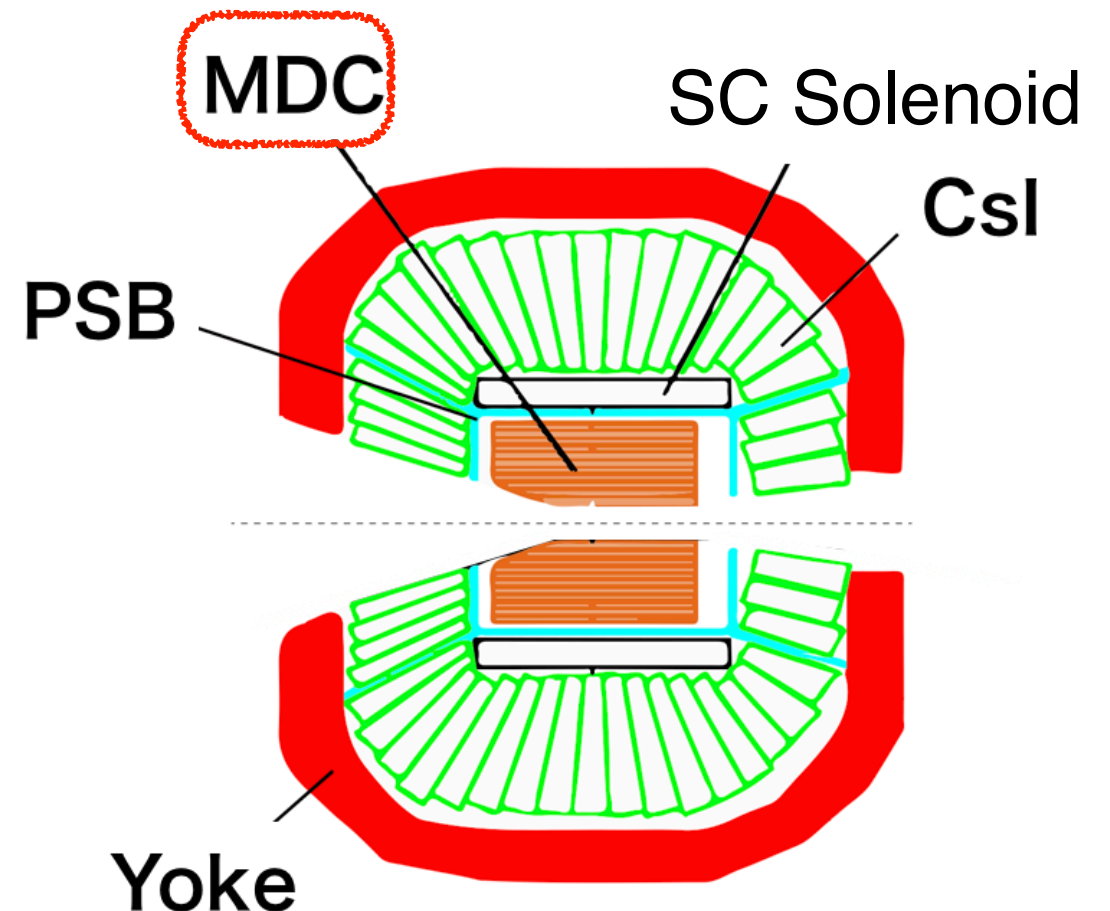
GENFIT Event Display

SC-Solenoid 1T

Track

Hit wires

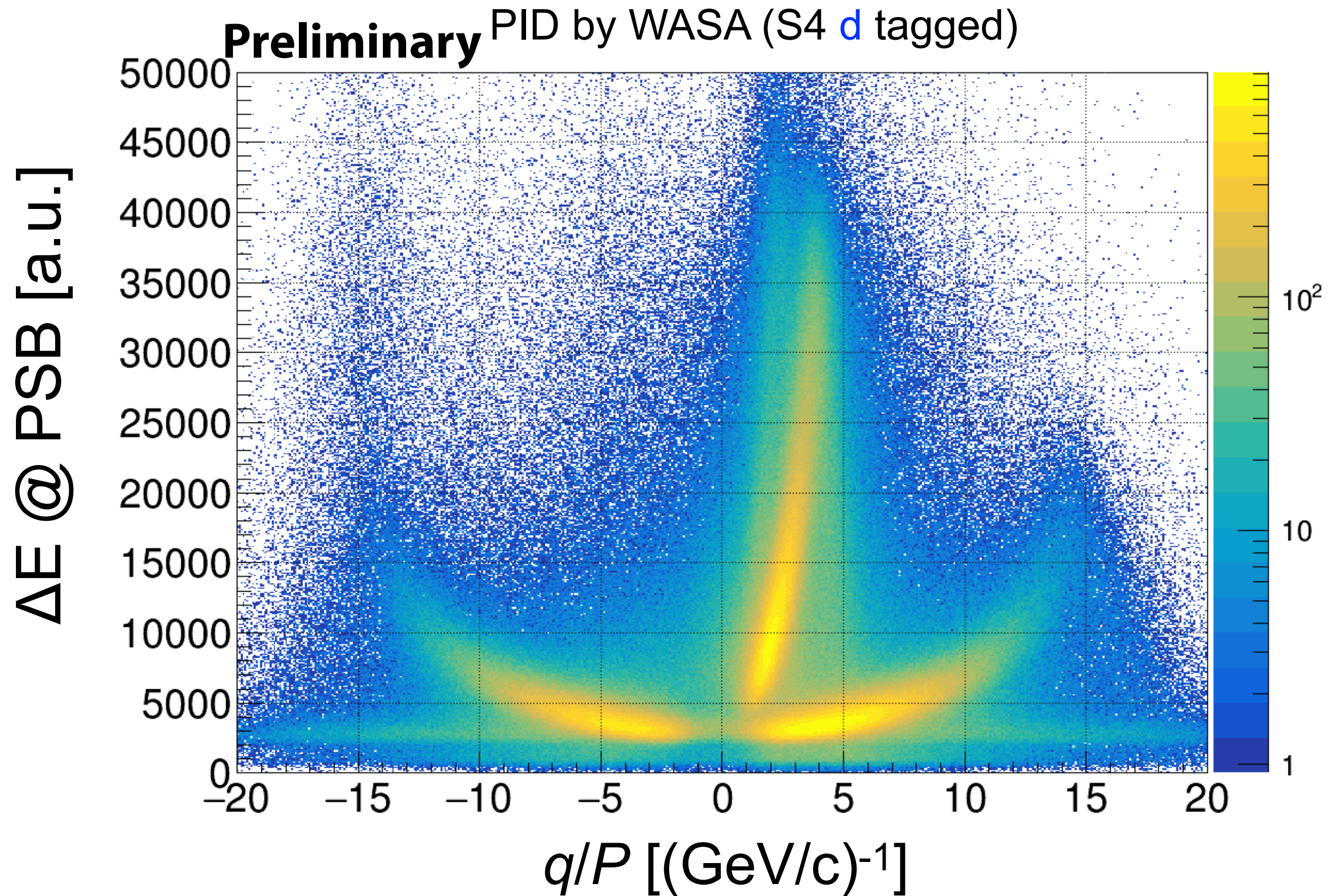
Tracking with Kalman filter



R.Sekiya

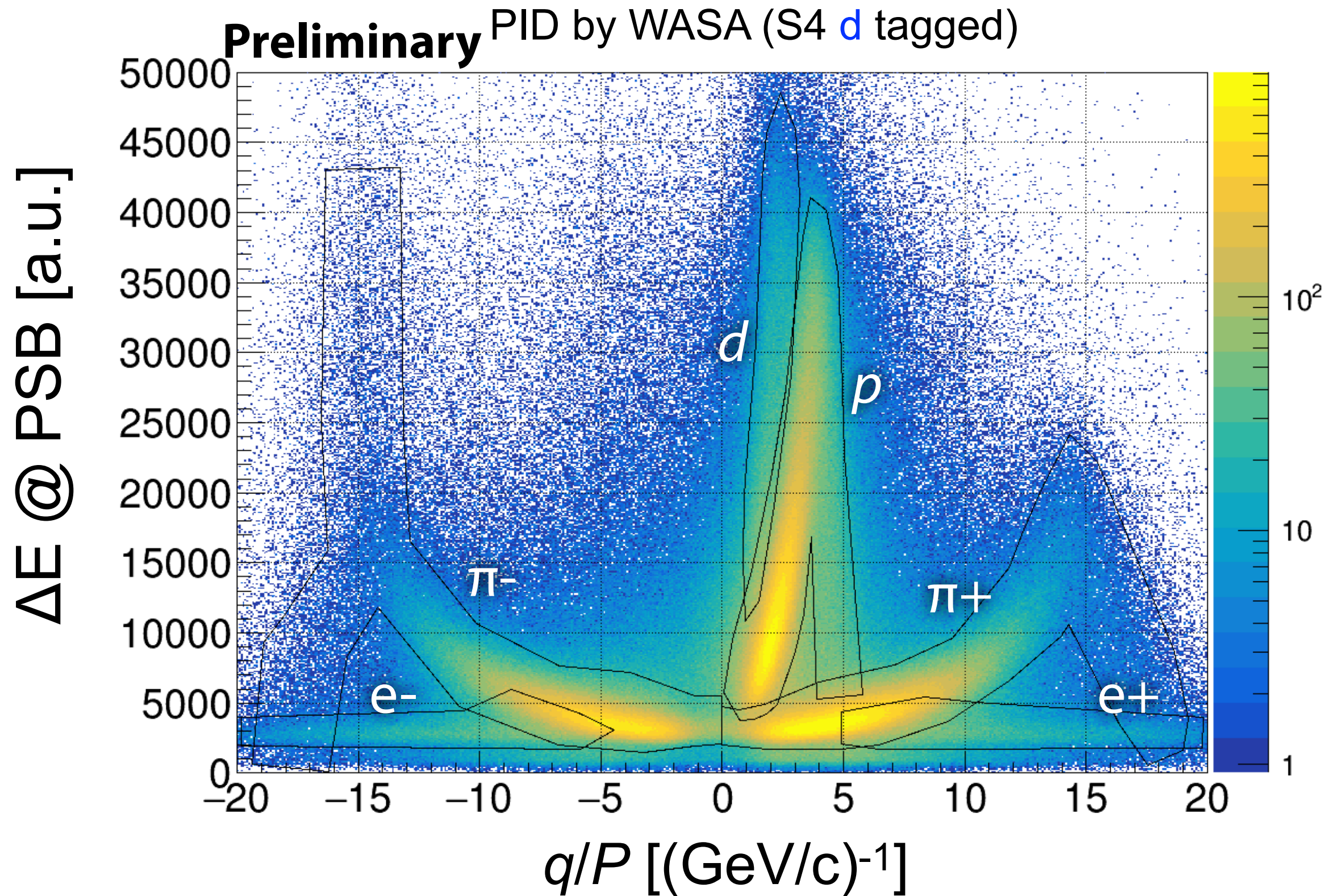


# WASA Combined PID with $\Delta E$ and $q/p$



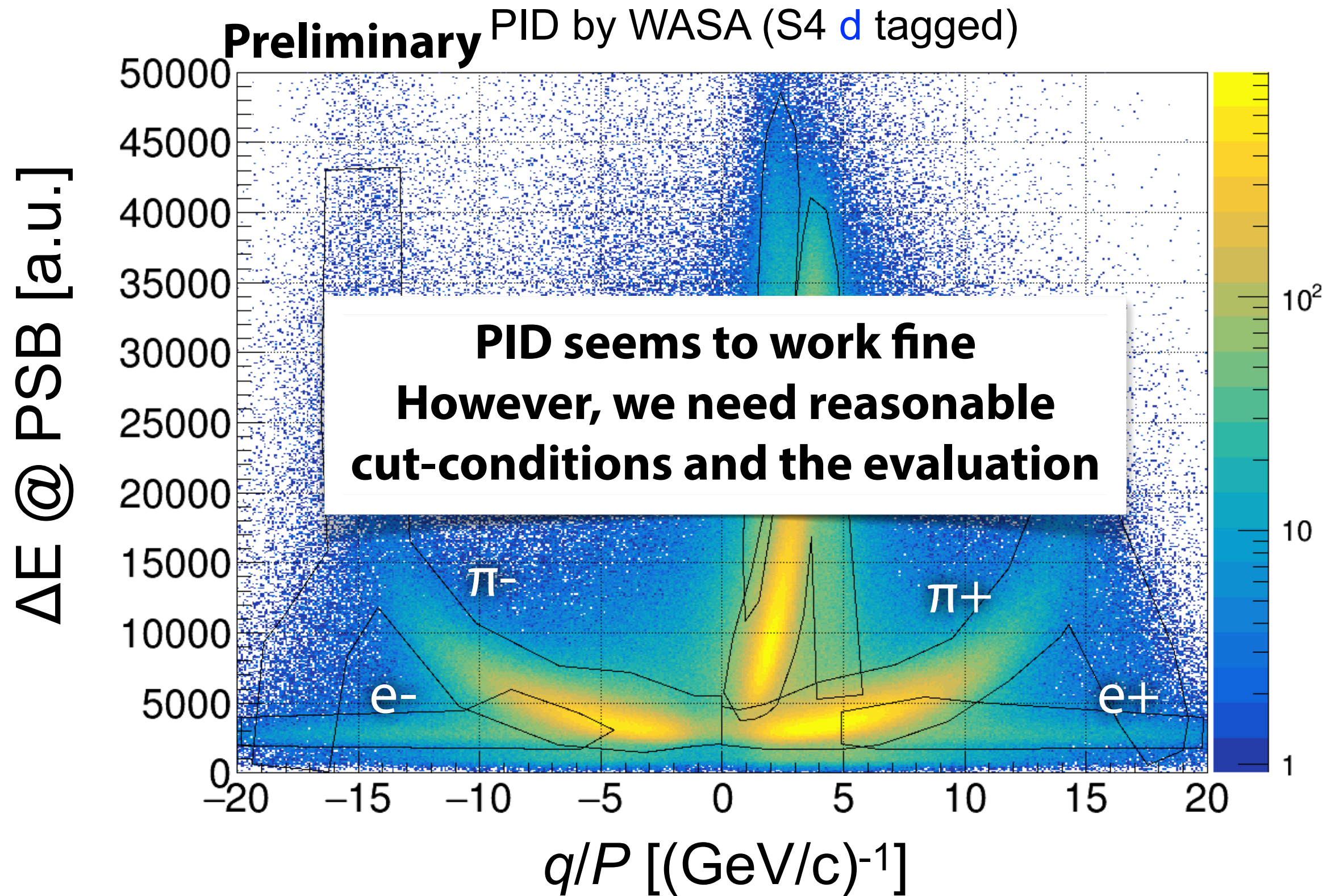


# WASA Combined PID with $\Delta E$ and $q/p$





# WASA Combined PID with $\Delta E$ and $q/p$

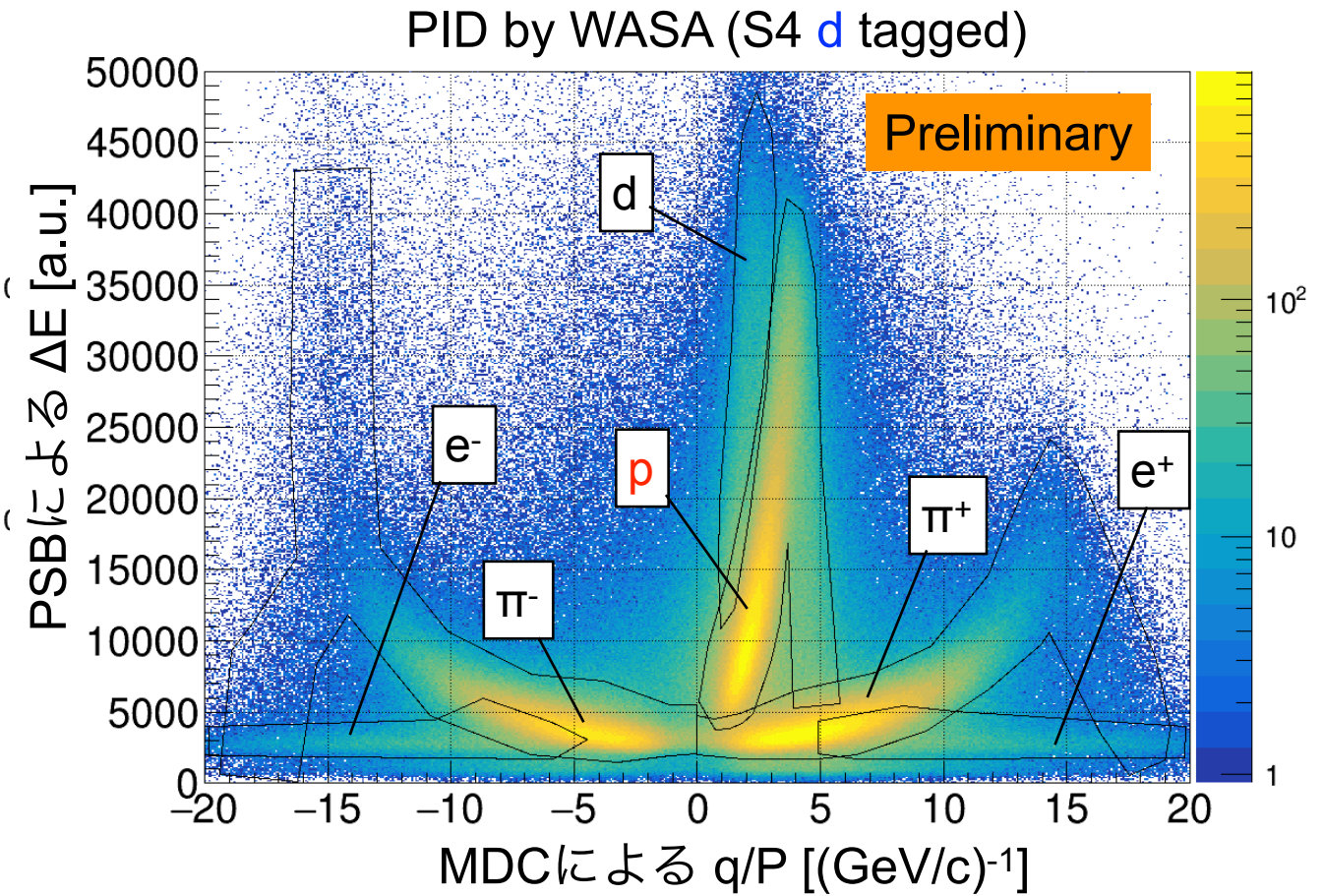
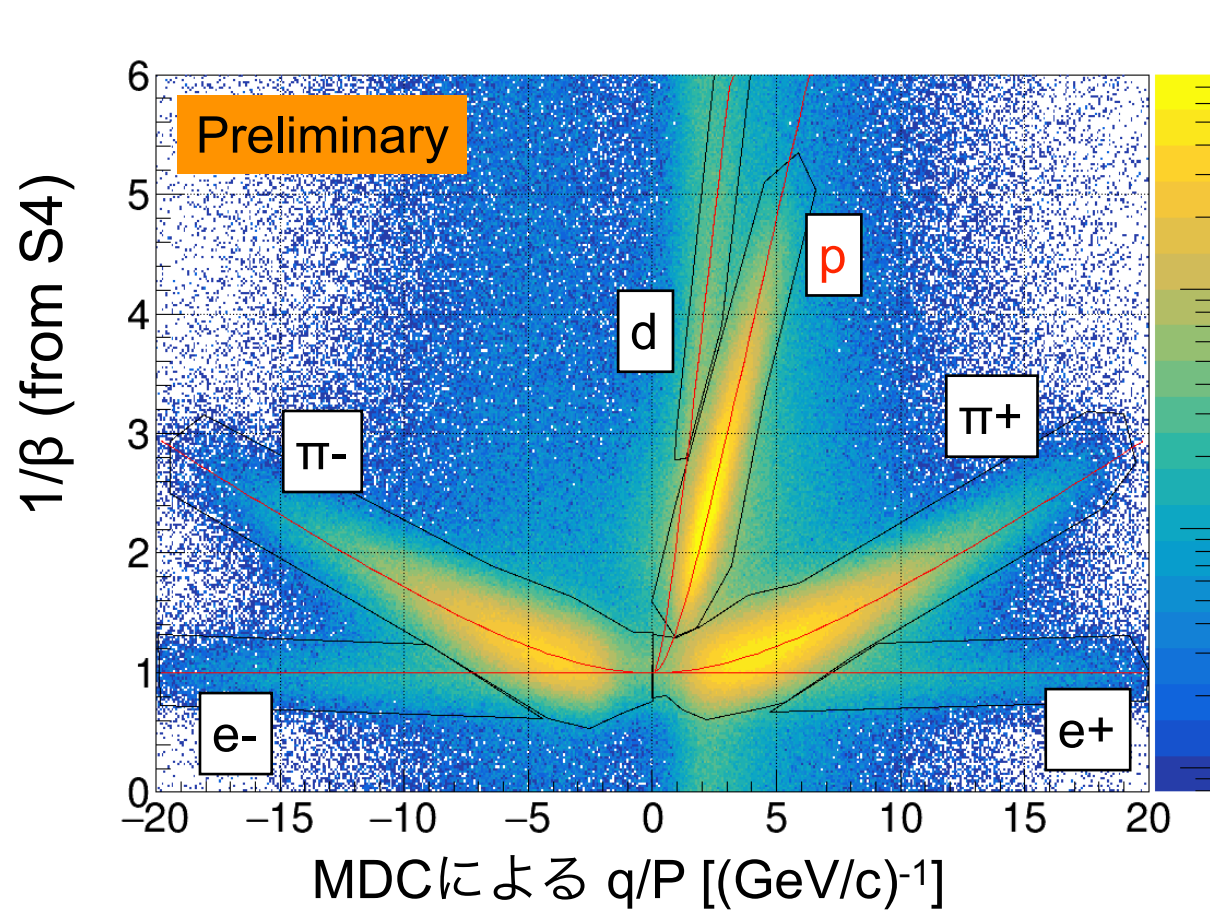


# Summary

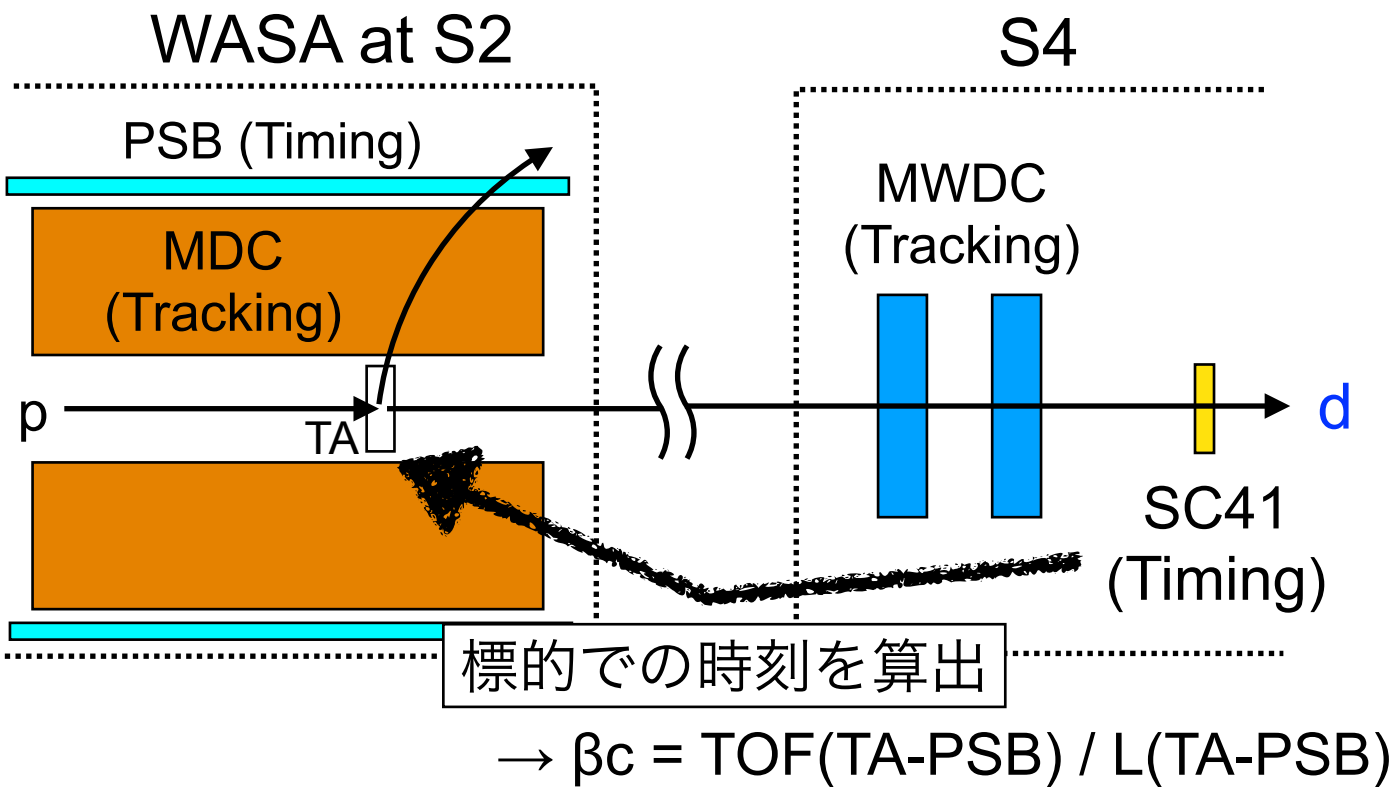
- $\eta'$ -mesic nuclei hold a key to understand **origin of matter mass and non-trivial structure of QCD vacuum**
- We have conducted S437 and S490 experiment to search for eta-prime mesic nuclei and conducted missing-mass spectroscopy of  $^{12}\text{C}(p,d)$  reaction
- We combine forward spectrometer FRS and large solid angle detector WASA. By tagging  $\sim 1$  GeV/c proton, we **improve S/BG ratio by  $\sim 100$**
- WASA PID works fine with TOF, tracking, and  $\Delta E$  information. Cut conditions are to be finalized. **Semi-exclusive spectra will be ready soon**
- We start considerations of next experiments using **pion/pbar beams**
- For  $\sim 1/4$  century, I enjoyed working with Iwasaki-san. I truly appreciate the precious days.



# WASA-FRS combined PID



PID by WASA (S4 d tagged)



## 標的起因の p の識別

- $P/q$  (MDC)
- $\Delta E$  (PSB)
- $\beta$  (S4検出器, PSB, MDC)

の情報を駆使してPID